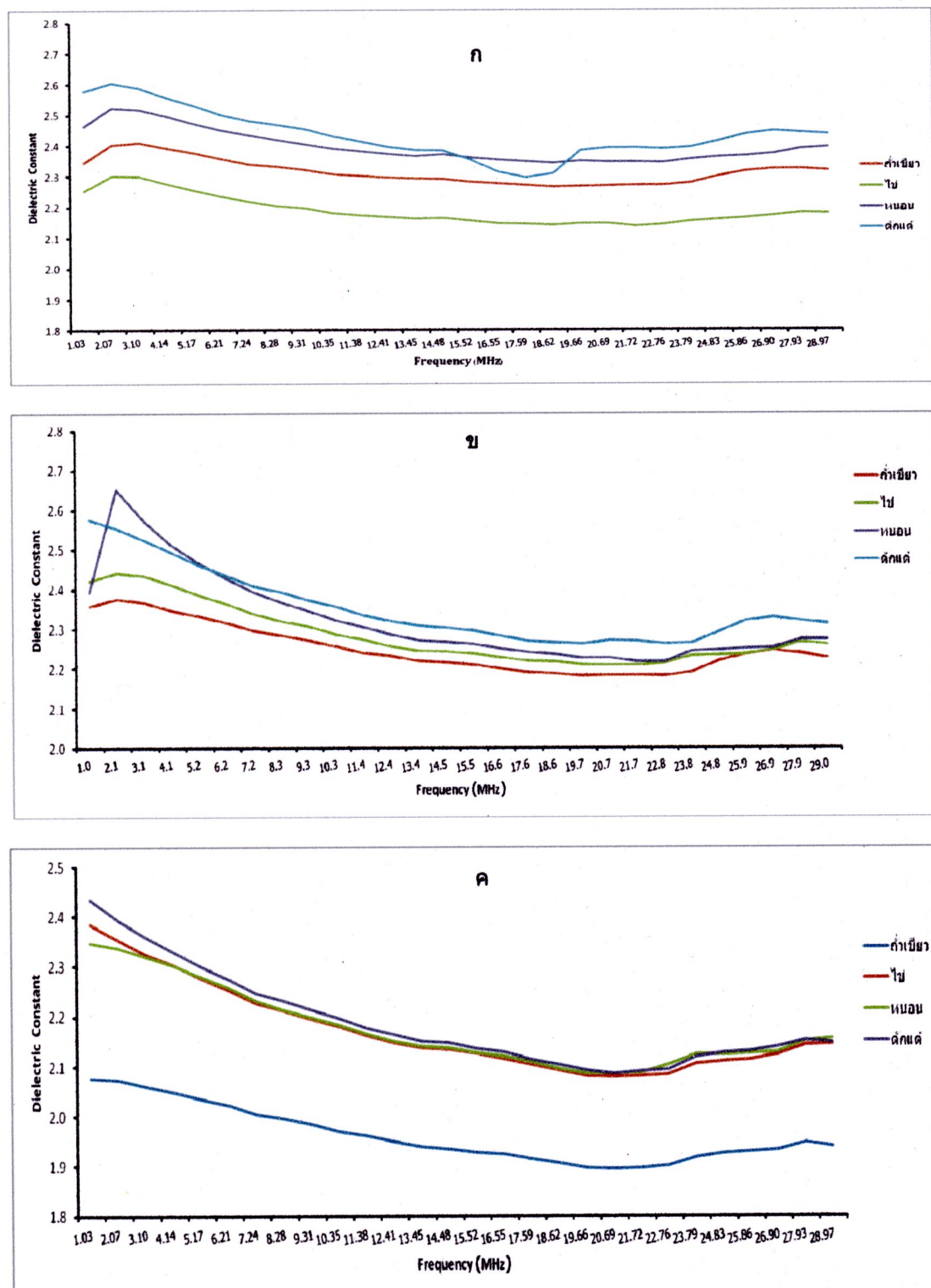


บทที่ 4

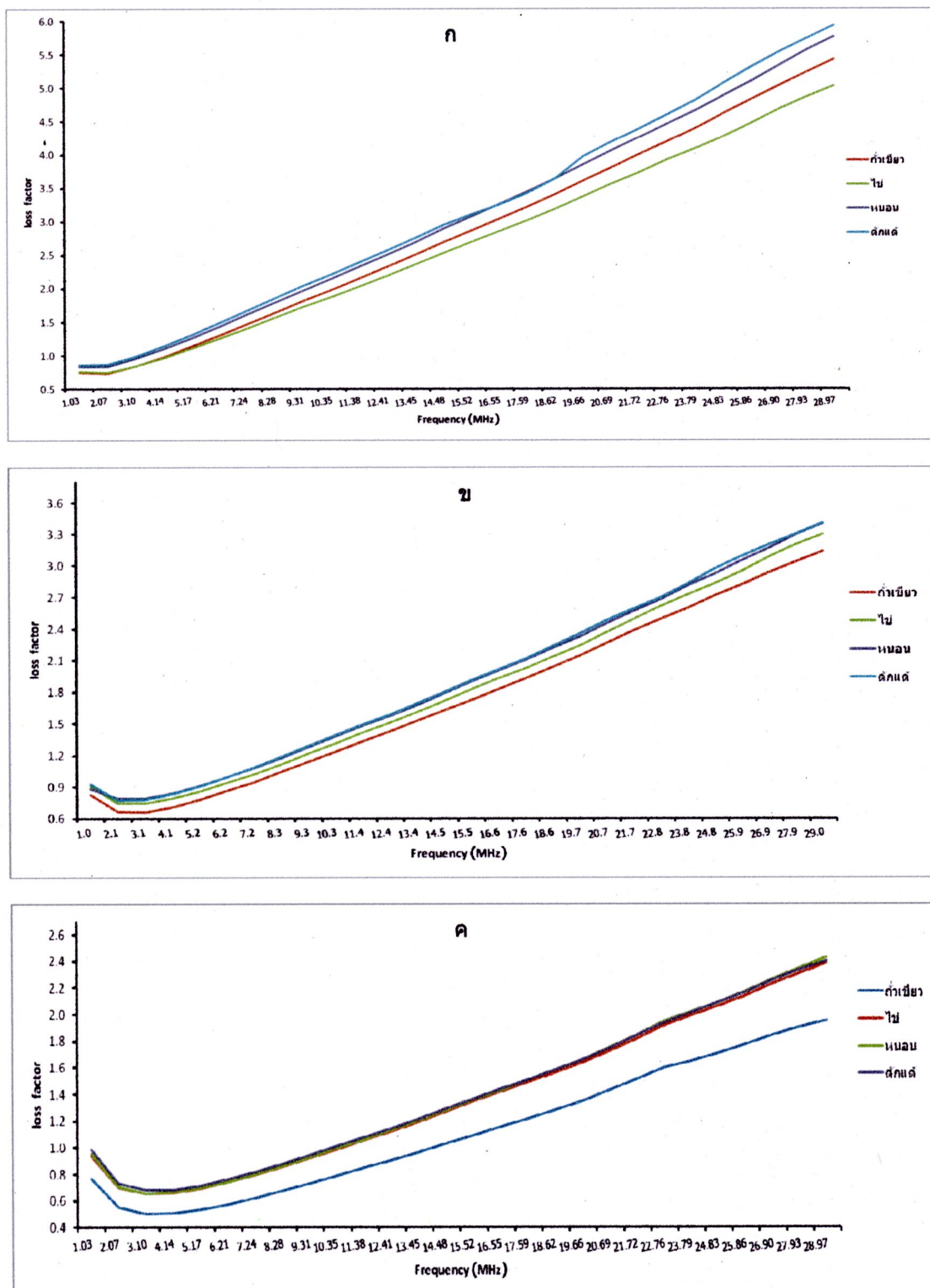
ผลและวิจารณ์การทดลอง

การทดลองที่ 1 ศึกษาหาคุณสมบัติโดยอิเลคทริกของถัวเรียวและระบบการเจริญเติบโตต่าง ๆ ของ ถัวเรียว

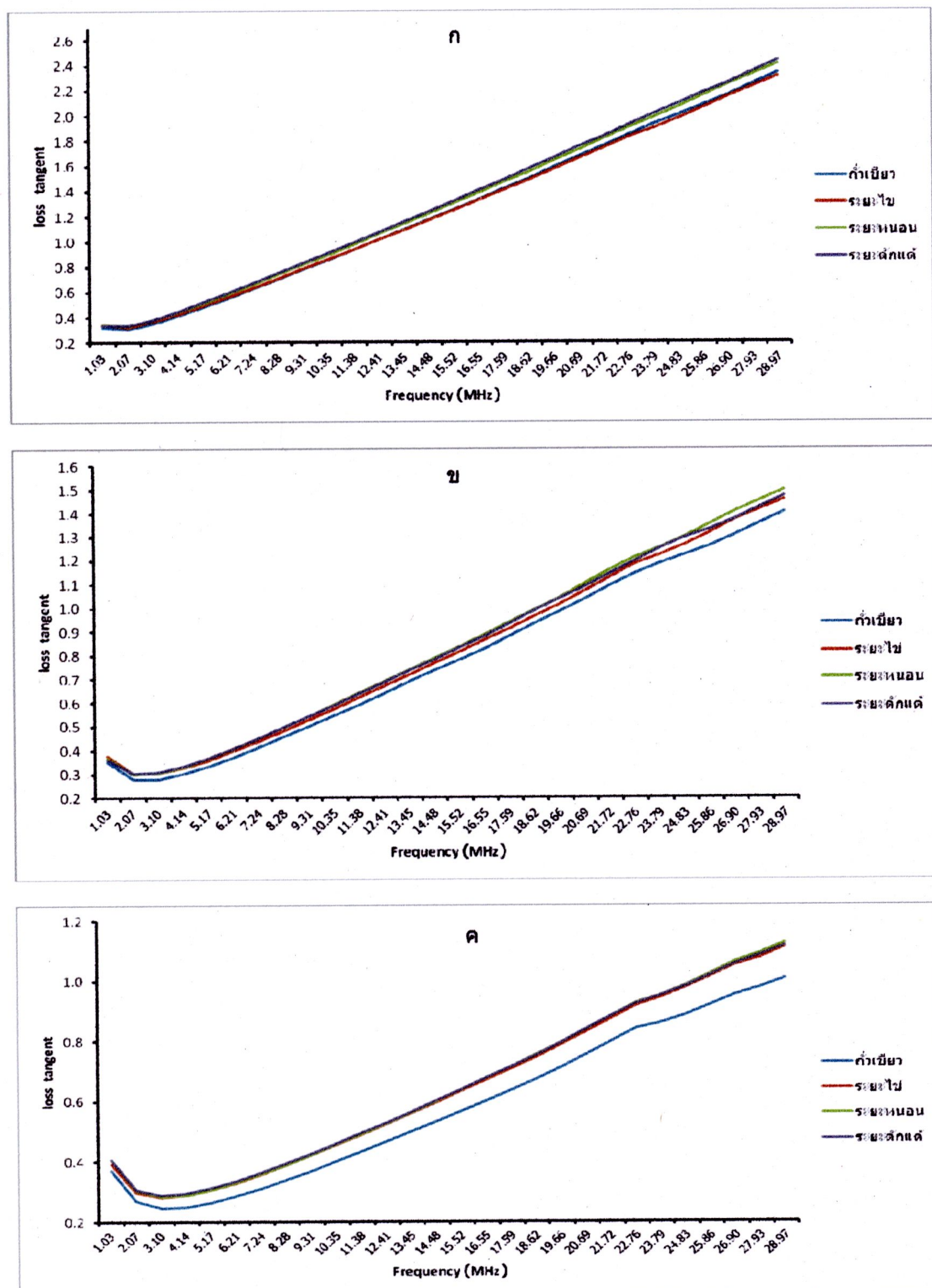
ทดสอบการวัดค่าการสะสัมพลังงานไฟฟ้า (dielectric constant; ϵ') และค่าการปลดปล่อย พลังงาน (loss factor; ϵ'') ที่ช่วงความถี่ 0-30 MHz ด้วยเครื่องวิเคราะห์อิมพีเดนซ์ความแม่นยำ สูง หัววัดแบบ open-ended coaxial พบว่า เมล็ดถัวเรียวที่ความชื้น 11 เปอร์เซ็นต์ และเมล็ดถัวเรียวที่มีไน่ (ระยะไน่) เมล็ดถัวเรียวที่มีหนอน (ระยะหนอน) และเมล็ดถัวเรียวที่มีดักแด๊ (ระยะดักแด๊) ที่ระยะเพลท 0.50, 1.00 และ 1.50 เซนติเมตร ตามลำดับ มีค่าคงที่โดยอิเลคทริก(dielectric constant; ϵ') ของเมล็ดถัวเรียว ระยะไน่ ระยะหนอนและระยะดักแด๊ลดลงตามความถี่ที่เพิ่มขึ้นที่ ระยะเพลท 0.50, 1.00 และ 1.50 เซนติเมตร (ภาพ 4.1) ตามลำดับ ค่าแฟกเตอร์การสูญเสีย (loss factor; ϵ'') และค่าลอสแทนเจน ($\tan \delta$) ของเมล็ดถัวเรียว ระยะไน่ ระยะหนอนและระยะดักแด๊ เพิ่มขึ้นตามค่าความถี่ที่ใช้ในการวัดที่ระยะเพลท 0.50, 1.00 และ 1.50 เซนติเมตร ตามลำดับ (ภาพ 4.2 และ 4.3) เมื่อพิจารณาค่าคงที่โดยอิเลคทริก (dielectric constant; ϵ') ค่าแฟกเตอร์การสูญเสีย (loss factor; ϵ'') และค่าลอสแทนเจน (loss tangent; $\tan \delta$) ที่ความถี่ 26.89 MHz ซึ่ง เป็นความถี่ที่ใกล้เคียงกับความถี่ 27.12 MHz ที่ใช้ในการทดลองในครั้งนี้ ดังแสดงในตาราง 4.1, 4.2 และ 4.3 ตามลำดับ



ภาพ 4.1 ค่าคงที่ไดอิเลคทริก (ϵ') ของถั่วเขียว และถั่วเขียวที่มีด้วงถั่วเขียว ระยะ ໄข' ระยะหอน และระยะดักแด๊ นำไปวัดคุณสมบัติไดอิเลคทริก ที่ระยะห่างเพลท 0.50(ก) 1.00(ข) และ 1.50 (ค) เซนติเมตร



ภาพ 4.2 แฟกเตอร์การสูญเสีย (ϵ'') ของถั่วเขียว และถั่วเขียวที่มีดองถั่วเขียว ระยะไข่ ไข่ ระยะหนอน และระยะดักแด้ นำไปวัดคุณสมบัติโดยเดคทริก ที่ระยะห่างเพลท 0.50(ก) 1.00 (ข) และ 1.50(ค) เซนติเมตร



ภาพ 4.3 ค่าลอสแทนเจน ($\tan \delta$) ของถั่วเขียว และถั่วเขียวที่มีดึงถั่วเขียว ระยะ ໄข' ระยะหนอน และระยะดักแดด นำไปวัดคุณสมบติโดยเลคทริก ที่ระยะเพลท 0.50(ก) 1.00(ข) และ 1.50 (ค) เซนติเมตร

ตาราง 4.1 ค่าคงที่ไดอิเลคทริก (dielectric constant; ϵ') ของเมล็ดถั่วเขียว ระยะไข่ ระยะหนอน และระยะดักแด้ของด้วงถั่วเขียว ที่วัดจากเครื่องอินพีแคนซ์ความแม่นยำสูง หัววัดแบบ open-ended coaxial ที่ระยะเพลทต่างกัน ที่ความถี่ 26.89 MHz

กรรมวิธี	ระยะห่างของเพลท ^{1/} ± SD (เซนติเมตร)		
	0.50	1.00	1.50
เมล็ดถั่วเขียว	2.323 ± 0.061d	2.245 ± 0.040c	1.933 ± 0.005a
ไข่	2.173 ± 0.069b	2.247 ± 0.019c	2.123 ± 0.004b
หนอน	2.372 ± 0.025d	2.253 ± 0.033c	2.128 ± 0.017b
ดักแด้	2.446 ± 0.024d	2.329 ± 0.016e	2.138 ± 0.013b

^{1/}ค่าเฉลี่ยในส่วนก์ และแปรเดียวกันตามด้วยตัวอักษรที่เหมือนกัน ไม่มีความแตกต่างอย่างมีนัยสำคัญทางสถิติที่ระดับความเชื่อมั่น 95 เปอร์เซ็นต์ โดยวิธี Least Significant Difference

ตาราง 4.2 ค่าแฟกเตอร์การสูญเสีย (loss factor; ϵ'') ของเมล็ดถั่วเขียว ระยะไข่ ระยะหนอน และระยะดักแด้ของด้วงถั่วเขียว ที่วัดจากเครื่องอินพีแคนซ์ความแม่นยำสูง หัววัดแบบ open-ended coaxial ที่ระยะเพลทต่างกัน ที่ความถี่ 26.89 MHz

กรรมวิธี	ระยะห่างของเพลท ^{1/} ± SD (เซนติเมตร)		
	0.50	1.00	1.50
เมล็ดถั่วเขียว	5.031 ± 0.303f	2.929 ± 0.089c	1.843 ± 0.016a
ไข่	4.674 ± 0.280e	3.080 ± 0.083cd	2.232 ± 0.005b
หนอน	5.332 ± 0.132g	3.165 ± 0.089d	2.263 ± 0.036b
ดักแด้	5.528 ± 0.173g	3.197 ± 0.028d	2.259 ± 0.033b

^{1/}ค่าเฉลี่ยในส่วนก์ และแปรเดียวกันตามด้วยตัวอักษรที่เหมือนกัน ไม่มีความแตกต่างอย่างมีนัยสำคัญทางสถิติที่ระดับความเชื่อมั่น 95 เปอร์เซ็นต์ โดยวิธี Least Significant Difference

ตาราง 4.3 ค่าลอสแทนเงน (loss tangent; tan δ) ของเมล็ดถั่วเขียว ระยะไน่ ระยะหนอน และ ระยะดักแด้ของถั่วถั่วเขียว ที่วัดจากเครื่องอิมพิแคนซ์ความแม่นยำสูง หัววัดแบบ open-ended coaxial ที่ระยะเพลทต่างกัน ที่ความถี่ 26.89 MHz

กรณี	ระยะห่างของเพลท ^{1/2} ± SD (เซนติเมตร)		
	0.50	1.00	1.50
เมล็ดถั่วเขียว	2.163 ± 0.074e	1.304 ± 0.012c	0.954 ± 0.007a
ไน่	2.149 ± 0.061e	1.370 ± 0.025d	1.051 ± 0.003b
หนอน	2.247 ± 0.041f	1.405 ± 0.020d	1.063 ± 0.009b
ดักแด้	2.259 ± 0.050f	1.373 ± 0.003d	1.056 ± 0.009b

^{1/2}ค่าเฉลี่ยในส่วนก์ และถ้าเดียวกันตามด้วยตัวอักษรที่เหมือนกัน ไม่มีความแตกต่างอย่างมีนัยสำคัญทางสถิติที่ระดับความเชื่อมั่น 95 เปอร์เซ็นต์ โดยวิธี Least Significant Difference

จากตาราง 4.1 พบร่วมกันว่า ค่าคงที่ไดอิเลคทริกในเมล็ดถั่วเขียว ไน่ หนอน และดักแด้ ที่ระยะเพลท 0.50, 1.00 และ 1.50 เซนติเมตร มีความแตกต่างอย่างมีนัยสำคัญทางสถิติ ($P<0.05$) และมี interaction ระหว่างปัจจัยแรก (เมล็ดถั่วเขียว ไน่ หนอน และดักแด้) และปัจจัยที่สอง (ระยะเพลท 0.50, 1.00 และ 1.50 เซนติเมตร) มีความแตกต่างอย่างมีนัยสำคัญทางสถิติ ($P<0.05$) ที่ระยะเพลทเดียวกัน (1.00 และ 1.50 เซนติเมตร) ค่าคงที่ไดอิเลคทริกของถั่วเขียว ระยะไน่ ระยะหนอน และระยะดักแด้ มีค่าเพิ่มขึ้นในทำนองเดียวกัน ยกเว้นที่ระยะเพลท 0.50 เซนติเมตร ค่าคงที่ไดอิเลคทริกในระยะไน่ คือ 2.173 ± 0.069 ลดลงอย่างมีนัยสำคัญทางสถิติ ($P<0.05$) เมื่อเปรียบเทียบกับค่าคงที่ไดอิเลคทริกของเมล็ดถั่วเขียว 2.323 ± 0.061 ค่าคงที่ไดอิเลคทริกทั้ง 3 ระยะการเจริญเติบโตของเมล็ด (ระยะไน่ ระยะหนอน และระยะดักแด้) และเมล็ดถั่วเขียว ที่ระยะเพลท 1.00 และ 1.50 เซนติเมตรเพิ่มขึ้น ยกเว้นที่ระยะเพลท 0.50 เซนติเมตร ในระยะไน่ของถั่วถั่วเขียว (ตาราง 4.1) เนื่องจากความจุไฟฟ้า (Capacitance,C) ของแผ่นตัวนำนานา (ในที่นี้คือแผ่นเพลทอะลูมิเนียมขนาด 10×10 เซนติเมตร) แปรผันตรงกับพื้นที่ของแผ่นตัวนำและแปรผันผันกับระยะห่างระหว่างแผ่นตัวนำ เมื่อเพิ่มระยะห่างระหว่างแผ่นตัวนำหรือลดพื้นที่ของแผ่นตัวนำ ความจุทางไฟฟ้าจะลดลง นอกจากนั้นแล้วในคุณสมบัติไดอิเลคทริกของผลิตผลเกษตรชั้นอัญญากับความถี่ ความชื้น อุณหภูมิและความหนาแน่น (Nelson, 1992) ในการวัดคุณสมบัติไดอิเลคทริก

ของน้ำยางพารา ในความเข้มข้นของน้ำยางพาราสัดต่อน้ำที่ความเข้มข้นของน้ำยางสด 100.00, 66.67, 50.00, 40.00, 33.33, 28.57, 25.00 และ 22.22 เปอร์เซ็นต์ ที่อุณหภูมิ 27 องศาเซลเซียส วัดช่วงความถี่ตั้งแต่ 20 MHz–1.5 GHz พบร่วมกับค่าคงที่ไดอิเลคทริก ค่าแฟกเตอร์การสูญเสีย และค่าลดลงเมื่อความถี่เพิ่มขึ้น (วุฒิไกรและคณะ, 2551) สอดคล้องกับการทดลอง Jiao *et al.* (2011) ที่ศึกษาคุณสมบัติไดอิเลคทริกของถั่ว black-eyed (*Vigna unguiculata*) และถั่วเขียว (*Vigna radiata*) ที่ความชื้น 4 ระดับได้แก่ 8.8, 12.7, 16.8, 20.9 เปอร์เซ็นต์ และ 10.2, 14.4, 18.2, 22.3 เปอร์เซ็นต์ ตามลำดับซึ่งเป็นความชื้นที่เหมาะสมต่อการเจริญเติบโตของถั่วเขียว (*Callosobruchus maculatus*) ในระยะตัวอ่อน (ระยะหนอนและตักแดี้ย) และตัวเต็มวัย ด้วยเครื่องอิมพีเดนซ์ ที่ความถี่ 10-1800 MHz ที่ช่วงอุณหภูมิ 20-60 องศาเซลเซียส พบร่วมกับค่าคงที่ไดอิเลคทริกและค่าแฟกเตอร์การสูญเสีย ลดลงกับความถี่ที่เพิ่มขึ้น แต่เพิ่มขึ้นเมื่ออุณหภูมิและความชื้นเพิ่มขึ้น สอดคล้องกับ Guo *et al.* (2010) ศึกษาคุณสมบัติไดอิเลคทริกของถั่วชickpea (chickpea) ถั่วลันเตา (green pea) ถั่วเหลือง (lentil) และถั่วเหลือง (soybean) ที่ความถี่ 10-1800 MHz และที่อุณหภูมิ 20-90 องศาเซลเซียส พบร่วมกับค่าคงที่ไดอิเลคทริก และค่าแฟกเตอร์การสูญเสีย ของตัวอย่างถั่วลดลงกับความถี่ที่เพิ่มขึ้น แต่เพิ่มขึ้นเมื่ออุณหภูมิและความชื้นเพิ่มขึ้น

จากตาราง 4.2 พบร่วมกับค่าแฟกเตอร์การสูญเสียในเมล็ดถั่วเขียว ระยะไประยะหนอน และระยะตักแดี้ย ที่ระยะเพลท 0.50, 1.00 และ 1.50 เซนติเมตร มีความแตกต่างอย่างมีนัยสำคัญทางสถิติ ($P<0.05$) และมี interaction ระหว่างปัจจัยแรก (เมล็ดถั่วเขียว ระยะไประยะหนอน และระยะตักแดี้ย) และปัจจัยที่สอง (ระยะเพลท 0.50, 1.00 และ 1.50 เซนติเมตร) มีความแตกต่างอย่างมีนัยสำคัญทางสถิติ ($P<0.05$) ค่าแฟกเตอร์การสูญเสียในเมล็ดถั่วเขียว ระยะไประยะหนอน และระยะตักแดี้ย ลดลงเมื่อระยะเพลท (0.50, 1.00 และ 1.50 เซนติเมตร) เพิ่มขึ้นตามลำดับ (ตาราง 4.2) แตกต่างอย่างมีนัยสำคัญทางสถิติ ในทางตรงกันข้าม ที่ระยะเพลท (0.50, 1.00 และ 1.50 เซนติเมตร) เดียวกัน ค่าแฟกเตอร์การสูญเสียในเมล็ดถั่วเขียว ระยะไประยะหนอน และระยะตักแดี้ย เพิ่มขึ้น ที่ระยะเพลท 0.50 เซนติเมตร ค่าแฟกเตอร์การสูญเสียในเมล็ดถั่วเขียวความชื้น 11 เปอร์เซ็นต์ (5.031 ± 0.303) แตกต่างจากระยะไประยะหนอน (4.674 ± 0.280) แต่ในระยะหนอนและระยะตักแดี้ยมีค่าแฟกเตอร์การสูญเสีย (5.332 ± 0.132 และ 5.528 ± 0.173) ไม่มีความแตกต่างอย่างมีนัยสำคัญทางสถิติ ($P>0.05$) ที่ระยะเพลท 1.00 เซนติเมตร ค่าแฟกเตอร์การสูญเสียในระยะไประยะหนอน และระยะตักแดี้ย (3.080 ± 0.083 , 3.165 ± 0.089 และ 3.197 ± 0.028) ไม่มีความแตกต่างอย่างมีนัยสำคัญทางสถิติ ($P>0.05$) แต่ในระยะหนอนและระยะตักแดี้ย แตกต่างจากในเมล็ดถั่วเขียวความชื้น 11 เปอร์เซ็นต์ (2.929 ± 0.089) สำหรับที่ระยะเพลท 1.50 เซนติเมตร ค่าแฟกเตอร์การสูญเสียในเมล็ด

ถ้าเวิร์คความชื้น 11 เปอร์เซ็นต์ (1.843 ± 0.016) แตกต่างจากในระยะไจ่ ระยะหนอน และระยะดักแด๊ (2.232 ± 0.005 , 2.263 ± 0.036 และ 2.259 ± 0.033) ตามลำดับ

จากตาราง 4.3 พบว่า ค่าลอสแทนเจน ($\tan \delta$) ในเมล็ดถั่วเขียวที่ความชื้น 11 เปอร์เซ็นต์ ระยะไจ่ ระยะหนอน และระยะดักแด๊ ที่ระยะเพลท 0.50, 1.00 และ 1.50 เซนติเมตร มีความแตกต่างอย่างมีนัยสำคัญทางสถิติ ($P < 0.05$) และมี interaction ระหว่างปัจจัยแรก (เมล็ดถั่วเขียว ระยะไจ่ ระยะหนอน และระยะดักแด๊) และปัจจัยที่สอง (ระยะเพลท 0.50, 1.00 และ 1.50 เซนติเมตร) มีความแตกต่างอย่างมีนัยสำคัญทางสถิติ ($P < 0.05$) (ตาราง 4.3) ค่า $\tan \delta$ ในเมล็ดถั่วเขียว ระยะไจ่ ระยะหนอน และระยะดักแด๊ ลดลงเมื่อระยะเพลท (0.50, 1.00 และ 1.50 เซนติเมตร) เพิ่มขึ้นตามลำดับ ซึ่งมีความแตกต่างอย่างมีนัยสำคัญทางสถิติ ($P < 0.05$) ในทางตรงกันข้าม ที่ระยะเพลท 1.00 และ 1.50 เซนติเมตร เดียวกัน ค่า $\tan \delta$ ในระยะไจ่ ระยะหนอน และระยะดักแด๊ มีแตกต่างกันทางสถิติกับค่า $\tan \delta$ ในเมล็ดถั่วเขียวความชื้น 11 เปอร์เซ็นต์ ตามลำดับ สำหรับที่ระยะเพลท 0.50 เซนติเมตร ค่า $\tan \delta$ ในเมล็ดถั่วเขียวความชื้น 11 เปอร์เซ็นต์และระยะไจ่ (2.149 ± 0.061) แตกต่างจากในระยะหนอนและระยะดักแด๊ (2.247 ± 0.041 , 2.259 ± 0.050) (ตาราง 4.3)

เมื่อพิจารณาที่ระยะเพลททั้ง 3 ระยะ (0.50, 1.00 และ 1.50 เซนติเมตร) พบว่า ที่ระยะเพลท 1.50 เซนติเมตร มีค่าคงที่ไดอิเลคทริก ค่าแฟกเตอร์การสูญเสียและค่าลอสแทนเจน มีการเบี่ยงเบน (standard deviation) ของข้อมูลน้อยกว่าที่ระยะเพลท 0.50 และ 1.00 เซนติเมตร ดังนั้นมีความเห็นใจในการบ่งชี้คุณสมบัติไดอิเลคทริก (dielectric property)

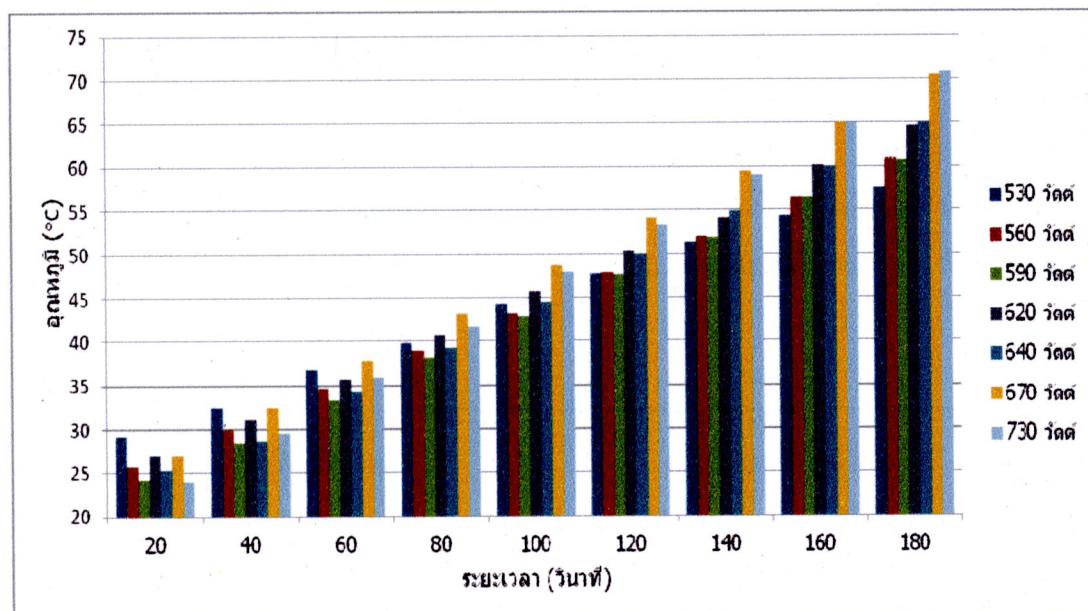
เมื่อพิจารณาค่าคงที่ไดอิเลคทริก (ϵ') ค่าแฟกเตอร์การสูญเสีย (ϵ'') และค่าลอสแทนเจน ($\tan \delta$) ที่ความถี่ 26.89 MHz ซึ่งเป็นความถี่ที่ใกล้เคียงกับความถี่ 27.12 MHz พบว่า ค่าคงที่ไดอิเลคทริก (dielectric constant; ϵ') ในเมล็ดถั่วเขียวความชื้น 11 เปอร์เซ็นต์ ระยะไจ่ ระยะหนอน และระยะดักแด๊ มีค่าเท่ากับ 1.933, 2.123, 2.128 และ 2.138 ตามลำดับ ค่าแฟกเตอร์การสูญเสีย (loss factor; ϵ'') ในเมล็ดถั่วเขียวความชื้น 11 เปอร์เซ็นต์ ระยะไจ่ ระยะหนอน และระยะดักแด๊ มีค่าเท่ากับ 1.843, 2.232, 2.263 และ 2.259 ตามลำดับ และค่าลอสแทนเจน ($\tan \delta$) ในเมล็ดถั่วเขียวความชื้น 11 เปอร์เซ็นต์ ระยะไจ่ ระยะหนอน และระยะดักแด๊ มีค่าเท่ากับ 0.954, 1.051, 1.063 และ 1.056 ตามลำดับ

ดังนั้นถั่วเขียวที่มีด้วงถั่วเขียว (ระยะไจ่ ระยะหนอน และระยะดักแด๊) มีความสามารถในการสะสม (dielectric constant; ϵ') และปลดปล่อยพลังงานไฟฟ้า (loss factor; ϵ'') ได้ดีกว่าเมล็ดถั่วเขียวความชื้น 11 เปอร์เซ็นต์ที่ไม่มีด้วงถั่วเขียวทั้ง 3 ระยะการเริญูเดิบโต สำหรับค่าลอสแทนเจน (loss tangent; $\tan \delta$) แสดงให้เห็นถึงระดับการหลุดลอกของสนานไฟฟ้าและระดับการ

กระบวนการไฟฟ้าเป็นพลังงานความร้อน ค่าเหล่านี้ถ้ามีค่าสูงแสดงว่าวัตถุจะเกิดความร้อนได้ดีขึ้น นั้นคือ ถ้าเขียวที่มีค่าวัตถุเขียว (ระยะไฟ ระยะหนอน และระยะดักแด้) สามารถดูดซับพลังงาน คลื่นความถี่วิทยุกระจายเป็นพลังงานความร้อนได้เร็วกว่าเมล็ดถั่วเขียวที่ไม่มีแมลงติดอยู่ภายใน การทดลองของ Jiao *et al.* (2011) พบว่า ค่าคงที่ไดอิเลคทริกของระยะตัวอ่อนด้วงถั่วเขียว (ระยะหนอนและระยะดักแด้) ที่ความถี่ 40, 200 และ 915 MHz มีค่าเท่ากับ 50, 36 และ 30 ตามลำดับ มีค่าลดลงตามความถี่ที่เพิ่มขึ้น แต่สูงกว่าค่าคงที่ไดอิเลคทริกของระยะตัวเต็มวัยด้วงถั่วเขียว ที่ความถี่ 200 และ 915 MHz มีค่าเท่ากับ 34 และ 28 ตามลำดับ ยกเว้นที่ความถี่ 40 MHz ค่าคงที่ไดอิเลคทริกของระยะตัวเต็มวัยด้วงถั่วเขียว มีค่าเท่ากับ 55 สูงกว่าในระยะตัวอ่อนด้วงถั่วเขียว (ระยะหนอนและระยะดักแด้) สำหรับค่าแฟกเตอร์การสูญเสียของระยะตัวอ่อนด้วงถั่วเขียว (ระยะหนอน และระยะดักแด้) ที่ความถี่ 40, 200 และ 915 MHz มีค่าเท่ากับ 168, 40 และ 15 ตามลำดับ มีค่าลดลงตามความถี่ที่เพิ่มขึ้น แต่สูงกว่าค่าแฟกเตอร์การสูญเสียของระยะตัวเต็มวัยด้วงถั่วเขียว ที่ความถี่ 40, 200 และ 915 MHz มีค่าเท่ากับ 104, 29 และ 10 เนื่องจากปริมาณความชื้นที่สูงขึ้น ในระยะตัวอ่อนด้วงถั่วเขียว (ระยะหนอนและระยะดักแด้) มีความชื้นเท่ากับ 70.8 เปอร์เซ็นต์มากกว่าระยะตัวเต็มวัยด้วงถั่วเขียว มีความชื้นเท่ากับ 43.9 เปอร์เซ็นต์ และเมื่อเปรียบเทียบค่าแฟกเตอร์การสูญเสียของแมลงกับเมล็ดถั่ว ที่ความถี่ 27 MHz (RF) และ 915 MHz (MW) พบว่า ที่ความถี่ทั้งสอง ด้วงถั่วเขียวปลดปล่อยพลังงานความร้อนได้เร็วกว่าเมล็ดถั่วที่ไม่มีการเข้าทำลายของแมลง Guo *et al.* (2008; 2010) พบว่า ที่ความถี่ 27 MHz และ 915 MHz ที่ฟังก์ชันของ อุณหภูมิ ค่าแฟกเตอร์การสูญเสียของระยะตัวอ่อนสูงกว่าตัวเต็มวัยของด้วงถั่วเขียว และสูงกว่าถั่วที่มีความชื้น (web base) สูงทั้ง 4 ชนิด คือ ถั่วชิกพี (chickpea) 20.9 เปอร์เซ็นต์ ถั่ว black-eyed 20.9 เปอร์เซ็นต์ ถั่วเลนทิล (lentil) 21.5 เปอร์เซ็นต์ และถั่วเขียว 21.5 เปอร์เซ็นต์ ตามลำดับ

การทดลองที่ 2 ศึกษาหาระยะการเจริญเติบโตของตัวเรี่ยวยที่มีความทนทานที่สุดเมื่อผ่านคลื่นความถี่วิทยุที่ระดับพลังงานที่เหมาะสม

จากการทดลองเพื่อหาระดับพลังงาน (power) เมื่อผ่านคลื่นความถี่วิทยุ 27.12 MHz แก่ตัวเรี่ยวยความชื้นเริ่มนั้น 11 เปอร์เซ็นต์ ที่ระดับพลังงาน 530, 560, 590, 620, 640, 670 และ 730 วัตต์ บันทึกอุณหภูมิทุก ๆ เวลา 20 วินาที จนครบ 180 วินาที พบว่า เมื่อให้ระดับพลังงานที่สูงขึ้น อุณหภูมิกายในถุงบรรจุตัวเรี่ยวยเพิ่มสูงขึ้นตามระดับพลังงานและระยะเวลาที่เพิ่มขึ้น (ภาพ 4.4)



ภาพ 4.4 กราฟแสดงอุณหภูมิของตัวเรี่ยวยความชื้น 11 เปอร์เซ็นต์ ที่ผ่านคลื่นความถี่วิทยุ 27.12 MHz ที่ระดับพลังงานต่าง ๆ

เนื่องจากตัวเรี่ยวยคุณชาบพลังงานเมื่อผ่านคลื่นความถี่วิทยุ 27.12 MHz เกิดการหมุนของโนไมเลกุลภายในวัตตุ 27,120,000 ครั้งต่อวินาที ผลของการหมุนและเสียบสีกันทำให้ความร้อนเกิดภายในวัตตุและกระจายออกมายานอก (Cwikinski, 2001) ซึ่งการคุณชาบพลังงานคลื่นแม่เหล็กไฟฟ้านั้นขึ้นอยู่กับคุณสมบัติทางไฟฟ้า ได้แก่ ค่าคงที่ไคอิเลคทริก (ϵ') แฟกเตอร์การสูญเสีย (ϵ'') และค่าลอสแทนเจน ($\tan \delta$) ของเม็ดตัวเรี่ยวย (ตาราง 4.1, 4.2 และ 4.3)

ดังนั้นคลื่นความถี่วิทยุ 27.12 MHz ที่ระดับพลังงาน 640 วัตต์เหมาะสมที่จะนำมาใช้กับตัวเรี่ยวยความชื้นเริ่มนั้น 11 เปอร์เซ็นต์ เพราะค่าเฉลี่ยของอุณหภูมิ (องศาเซลเซียส) และอุณหภูมิ

เป้าหมายที่ต้องการ (target temperature) มีการเบี่ยงเบนของข้อมูลน้อย (standard deviation) อย่างไรก็ตามในการทดลองนี้ต้องคำนึงถึงความสมำเสมอในการคุณซับพลังงานและการกระจายพลังงานความร้อนของถั่วเขียวภายในถุงบรรจุ เพราะถ้าเลือกใช้ระดับพลังงานที่สูงเป็นระยะเวลานานเป็นการสืบเปลี่ยนพลังงานไฟฟ้าและค่าใช้จ่าย

จากการทดสอบผลของคลื่นความถี่วิทยุ 27.12 MHz ที่ระดับพลังงาน 640 วัตต์ ระยะเวลา 120 วินาที อุณหภูมิสุดท้ายเฉลี่ย 49.9 ± 0.4 องศาเซลเซียส โดยใช้ตัวถ่วงถั่วเขียวทั้ง 3 ระยะ คือ ระยะไจ่ ระยะหนอน และระยะดักแด๊กที่ติดอยู่บนหรือในเมล็ด มาผ่านคลื่นความถี่วิทยุ พบว่า ตัวถั่วเขียวในระยะดักแด๊กแม้มีค่าเฉลี่ยเปอร์เซ็นต์การตายน้อยที่สุด คือ 22.91 ± 4.97 เปอร์เซ็นต์ ระยะไจ่ และระยะหนอน พบรการตายคือ 30.88 ± 8.73 และ 30.90 ± 4.60 เปอร์เซ็นต์ ตามลำดับ ซึ่งไม่แตกต่างกันทางสถิติ ($P>0.05$) (ตาราง 4.4)

ตาราง 4.4 เปอร์เซ็นต์การตายเฉลี่ยของตัวถั่วเขียว *Callosobruchus maculatus* ทั้ง 3 ระยะการเจริญเติบโตที่ผ่านคลื่นความถี่วิทยุ 27.12 MHz ที่ระดับพลังงาน 640 วัตต์ ระยะเวลา 120 วินาที

ระยะการเจริญเติบโต	เปอร์เซ็นต์การตาย \pm SE ^{1/}
ไจ่	30.88 ± 8.73 ns
หนอน	30.90 ± 4.60
ดักแด๊ก	22.91 ± 4.97

^{1/}ค่าเฉลี่ยในส่วนที่เดียวกันตามด้วยตัวอักษรที่เหมือนกัน ไม่มีความแตกต่างอย่างมีนัยสำคัญทางสถิติที่ระดับความเชื่อมั่น 95 เปอร์เซ็นต์ โดยวิธี Least Significant Difference (LSD=9.03)

เนื่องจากในระยะไจ่ ระยะหนอน และระยะดักแด๊ก ต่างมีปริมาณน้ำในร่างกายมาก และสามารถในการสะสมพลังงาน (E') และปลดปล่อยพลังงานไฟฟ้า (E'') ไม่แตกต่างกัน (ตาราง 4.1 และ 4.2) ที่ความถี่ 26.89 MHz ระยะเพลท 1.50 เซนติเมตร การตายของตัวถั่วเขียวเกิดจากการตอบสนองต่อคลื่นความถี่วิทยุ เนื่องจากการให้ความร้อนด้วยคลื่นความถี่วิทยุ เกิดจากการส่งผ่านสนามไฟฟ้า ซึ่งสามารถเคลื่อนที่ได้โดยไม่ต้องอาศัยตัวกลาง ทำให้วัสดุทั้งที่อยู่ภายในและที่ผิวได้รับพลังงานพร้อม ๆ กัน โดยทำให้วัสดุเกิดความร้อนอย่างทั่วถึงพร้อมกัน ซึ่งต่างกับการให้

ความร้อนโดยใช้ลักษณะร้อนหรือการพาราความร้อนโดยลม ในกรณีดังกล่าวความร้อนจะค่อย ๆ แพร่จากบริเวณผิวไปยังด้านในของวัสดุ (ยุทธพงศ์, 2549) ดังนั้นมีอุณหภูมิเดียวกันที่มีดีกว่าเดียวเข้าทำลาย เกิดความร้อนได้เร็วกว่าเมล็ดถ้าเดียวปกติ ซึ่งสอดคล้องกับทฤษฎีของกลไนความถี่วิทยุ ที่ Wang *et al.* (2002) พบว่า ความร้อนจากการใช้คลื่นความถี่วิทยุเกิดขึ้นมาจากการตอบสนองภายในร่วมกันระหว่างพลังงานของความขาวคลื่น และคุณสมบัติไดอิเลคทริก ซึ่งเป็นคุณสมบัติพื้นฐานของน้ำ ผลของการตอบสนองร่วมดังกล่าวทำให้เกิดการเคลื่อนที่อย่างไม่เป็นระเบียบของโมเลกุln้ำซึ่งจะทำให้เกิดความร้อนขึ้นภายในวัสดุที่ประกอบไปด้วยน้ำ และคลื่นความถี่วิทยุสามารถถูกอ้างให้เกิดความร้อนได้มากในวัสดุที่มีน้ำเป็นองค์ประกอบ (Cwiklinski and Höersten, 1999)

อย่างไรก็ตามระยะดักแด้ต่อการตายไม่แตกต่างจากระยะไกลและหนอน ร่างกายของแมลงมีอัตราส่วนระหว่างพื้นที่ผิวผนังลำตัวกับปริมาตรในอัตราส่วนที่สูง เมื่อได้รับความร้อน การสูญเสียน้ำเพียงเล็กน้อยมีผลกระทบแรงต่อสมดุลของน้ำในร่างกายของแมลง ด้วยเหตุนี้จึงทำให้แมลงในระยะไกล และดักแด้ มีการสูญเสียน้ำ ส่วนในระยะหนอนซึ่งเป็นระยะที่แมลงมีการกินและเจริญเติบโต และมีปริมาณน้ำมาก อย่างไรก็ตาม ระยะหนอนของด้วงถ้าเขียวอาจอยู่ภายนอกและแข็งโครงสร้างของเมล็ดอาจมีผลช่วยให้การสูญเสียน้ำลดความรุนแรงลง (Chapman, 1998) การควบคุมแมลงศัตรูโรงเก็บโดยการใช้คลื่นความถี่วิทยุ ภายใต้สภาพที่เหมือนกัน แมลงแต่ละชนิดและแต่ละระยะการเจริญเติบโตตอบสนองต่อคลื่นความถี่วิทยุแตกต่างกันไป เนื่องจากคุณลักษณะทางสายพันธุ์ที่แตกต่างกันซึ่งอาจจะเป็นทางชีวภาพ หรือกายภาพ หรือองค์ประกอบภายในร่างกายที่แตกต่างกัน และเมื่อแมลงได้รับความร้อนจากคลื่นความถี่วิทยุจะเกิดการสูญเสียน้ำหนักและมีการรับออกซิเจนเพิ่มขึ้นเหมือนกับระยะหนอนที่ได้รับบาดแผล และเกิดการสร้างโปรตีนเพิ่มขึ้น (heat shock protein) เพื่อช่วยซ่อมแซมส่วนของร่างกายที่ถูกทำลาย ทำให้แมลงสามารถอยู่รอดต่อไปได้ (Nelson, 1996)

กรีนอดแป้ง (red flour beetle; *Tribolium castaneum* (Herbst)) แมลงศัตรูที่พบมากในโรงงานอาหารสัตว์ มาผ่านคลื่นความถี่วิทยุ 27.12 MHz ที่อุณหภูมิ 50 องศาเซลเซียส พบว่า ระยะหนอน มีเปอร์เซ็นต์การตายมากที่สุดคือ 92.06 เปอร์เซ็นต์ รองลงมาคือ ตัวเต็มวัย ไจ และดักแด้ เท่ากับ 91.58, 81.98 และ 72.9 ตามลำดับ (กรรภิการ, 2552) ต่างจากการใช้คลื่นความถี่วิทยุ 27.12 MHz ที่ระดับอุณหภูมิ 48-52 องศาเซลเซียส ระยะการเจริญเติบโตของອอดแป้ง (red flour beetle: *Tribolium castaneum*) ที่มีความทนทานต่อคลื่นความถี่วิทยุได้ โดยระยะหนอนวัยแก่ (วัย 6-8) มีความทนต่อคลื่นความถี่วิทยุมากที่สุด รองลงมา ได้แก่ ระยะดักแด้ ตัวเต็มวัย ไจ และหนอนวัยอ่อน ตามลำดับ และที่อุณหภูมิ 52 องศาเซลเซียส เป็นเวลา 2 นาที สามารถกำจัด

หนอนวัชแก่ได้ 100 เปอร์เซ็นต์ (Johnson *et al.*, 2004) อาจเป็นไปได้ว่าหนอนวัชแก่ที่ Johnson *et al.* (2004) นำมายกมาลดกิจกรรมการกินและการเคลื่อนไหว เมื่อได้รับ RF จึงมีการตอบสนองที่น้อยกว่าระยะหนอนวัชอ่อน นอกจากนี้ระยะหนอนของมดแป้ง (*confused flour beetle: Tribolium confusum*) มีความไวต่อความร้อนจากคลื่นความถี่วิทยุที่ 11 MHz โดยการตายของระยะหนอนมากกว่าระยะตัวเต็มวัย (Webber *et al.*, 1964) ระยะตัวเต็มวัย หนอน ดักแด๊ และไว่ของมดแป้ง (*T. confusum*) และ Granary weevil (*Sitophilus granarius*) นาผ่านคลื่นไมโครเวฟที่ 2450 MHz ตัวเต็มวัยของแมลงทั้ง 2 ชนิดมีอัตราการตายมากกว่าระยะอื่น ๆ และระยะไว่มีการตายน้อยที่สุด (Baker *et al.*, 1956) ในกรณีของการใช้ RF กับตัวงาเดด (*Tenebroides mauritanicus*) ซึ่งเป็นแมลงศัตรูโรงเก็บชนิดหนึ่ง พบร่วมกับการต้มในน้ำอุ่นที่มีอัตราการตายที่คลื่นความถี่วิทยุที่ 39 MHz มากกว่าระยะตัวเต็มวัย ซึ่งให้ผลในการกำจัดตัวงาเดดได้ดีกว่าการหุงต้ม (Nelson and Kantack, 1966)

สำหรับแมลงศัตรูในโรงเก็บของข้าวสาร ณ คณิณ (2551) นำผีเสื้อข้าวสาร (*Coryza cephalonica* (Stainton)) ในกระบวนการเจริญเติบโต ระยะไว่ หนอน ดักแด๊ และตัวเต็มวัย นาผ่านคลื่นความถี่วิทยุ 27.12 MHz ที่อุณหภูมิ 60 องศาเซลเซียส พบร่วมกับการหุงต้มที่อุณหภูมิ 39 MHz ที่ตัวผีเสื้อข้าวสาร มีเปอร์เซ็นต์การตาย 98.90 และ 98.35 เปอร์เซ็นต์ ซึ่งเป็นระยะที่มีอัตราการรอดชีวิตมากที่สุด ส่วนระยะตัวเต็มวัย และตัวหนอนตาย 100 เปอร์เซ็นต์ สำหรับมดหัวป้อม (lesser grain borer: *Rhyzopertha dominica* (F.)) ผ่านคลื่นความถี่วิทยุ 27.12 MHz ที่อุณหภูมิ 50 องศาเซลเซียส เป็นระยะเวลา 180 วินาที พบร่วมกับการหุงต้มที่อุณหภูมิ 39 MHz ที่ตัวผีเสื้อข้าวสาร อาจกล่าวได้ว่า แมลงในระยะหนอนที่มีพังผืดตัวบางมีปริมาณน้ำในร่างกายมากกว่าแมลงระยะอื่น ๆ และระยะไว่ ซึ่งมีขนาดเล็ก แม้ว่าจะมีปริมาณน้ำน้อยกว่าระยะหนอน แต่เนื่องจากมีอัตราส่วนระหว่างพังผืดตัวกับปริมาตรของร่างกายที่สูง ซึ่งมีผลทำให้ไวต่อการเปลี่ยนแปลงปริมาณน้ำหรือสิ่งแวดล้อมภายในออกที่มากระแทบจึงทำให้ระยะหนอนวัยอ่อนและระยะไว่ของแมลงมีแนวโน้มอ่อนแออ่อนต่อ RF มากกว่าระยะตัวเต็มวัยกับระยะดักแด๊

จำนวนแมลงรุ่นลูกด้วงถ้วงเขียวเฉลี่ยทั้ง 3 ระยะการเจริญเติบโตที่ผ่านคลื่นความถี่วิทยุ 27.12 MHz ที่ระดับพลังงาน 640 วัตต์ ระยะเวลา 120 วินาที หลังจากเก็บรักษาเป็นระยะเวลา 4 สัปดาห์ พบร่วมกับจำนวนแมลงรุ่นลูกของด้วงถ้วงเขียวระยะหนอนและดักแด๊ที่ผ่านคลื่นความถี่วิทยุ คือ 47.8 ± 4.23 ตัว และ 56.1 ± 2.40 ตัว ตามลำดับ มีปริมาณลดลงอย่างมีนัยสำคัญทางสถิติ ($P<0.05$) เมื่อเปรียบกับจำนวนแมลงรุ่นลูกด้วงถ้วงเขียวระยะหนอนและดักแด๊ ในกรณีที่ชุด

ควบคุม คือ 65.6 ± 3.61 ตัว และ 67.8 ± 2.89 ตัว ตามลำดับ ระยะหานอนและดักแด้ตอบสนองกับกรรมวิธีที่ได้ผ่านคลื่นความถี่วิทยุ ไม่แตกต่างกันทางสถิติ ($P>0.05$) ส่วนแมลงระยะไข่ในชุดควบคุมพบว่า ให้แมลงรุ่นลูก 24.6 ± 1.49 ตัว แตกต่างจากการนำแมลงระยะหานอน ระยะดักแด้ในชุดควบคุมอาจมีผลมาจากการนำแมลงระยะไข่ซึ่งอยู่ภายใต้การอุ่น เมล็ด ได้รับผลกระทบจากการแยกเลี้ยงเมล็ดเดี่ยวในภาชนะ (96 well plate) ไม่แตกต่างกันทางสถิติ ($P>0.05$) จากกรรมวิธีที่ผ่านคลื่นความถี่วิทยุเท่ากับ 18.1 ± 1.19 ตัว (ตาราง 4.5) แมลงจากชุดที่ผ่าน RF เหลือเจริญเติบโตให้แมลงรุ่นลูกด้วยถั่วเขียวลดลงอย่างมีนัยสำคัญทางสถิติจากชุดควบคุม ($P<0.05$) เนื่องจากความร้อนจะมีผลต่อระบบประสาท (nervous system) ที่ควบคุมการทำงานของระบบต่อมไร้ท่อ (endocrine system) และระบบอวัยวะต่าง ๆ ทำงานไม่เป็นไปตามปกติ เช่น มีผลในการบั้งยั้งการสร้างสาร vitellin ซึ่งเป็นโปรตีนสำคัญในการสร้างและพัฒนาของไข่ของแมลง และการเพิ่มขึ้น Juvenile hormone (JH) ซึ่งเป็นฮอร์โมนที่มีหน้าที่ควบคุมการเจริญเติบโตและการเปลี่ยนแปลงรูปร่างของแมลง ไม่ให้เป็นตัวเต็มวัย ถ้ามี JH ลดลงส่งผลให้แมลงระยะตัวอ่อนมีการลอกคราบมากขึ้น หรือมีระยะการเจริญเติบโตผิดปกติ (Neven, 2000)

ตาราง 4.5 จำนวนแมลงรุ่นลูกด้วยถั่วเขียว *Callosobruchus maculatus* ทั้ง 3 ระยะการเจริญเติบโต เคลี้ยงที่ผ่านคลื่นความถี่วิทยุ 27.12 MHz ที่ระดับพลังงาน 640 วัตต์ ระยะเวลา 120 วินาที หลังจากเก็บรักษาเป็นระยะเวลา 4 สัปดาห์

ระยะการเจริญเติบโต	จำนวนแมลงรุ่นลูกด้วยถั่วเขียว \pm SE ^{1/}	
	ชุดควบคุม	ชุด RF
ไข่	24.6 ± 1.49 c	18.1 ± 1.19 c
หานอน	65.6 ± 3.61 a	47.8 ± 4.23 b
ดักแด้	67.8 ± 2.89 a	56.1 ± 2.40 b

^{1/} ค่าเฉลี่ยในส่วนก์ และแ dev เดียวกันตามด้วยตัวอักษรที่เหมือนกัน ไม่มีความแตกต่างอย่างมีนัยสำคัญทางสถิติที่ระดับความเชื่อมั่น 95 เปอร์เซ็นต์โดยวิธี Least Significant Difference (LSD = 4.03)

การทดลองที่ 3 ศึกษาหาระยะเวลาที่เหมาะสมที่ทำให้ด้วงถั่วเขียวตายอย่างสมบูรณ์

จากผลการทดลองที่ 2 ด้วงถั่วเขียวจะระยำไป ระยะหนอน และระยะดักแด้ให้ผลในการตอบสนองต่อความร้อนไม่แตกต่างกันทางสถิติ ($P>0.05$) ดังนั้นจึงใช้ด้วงถั่วเขียวระยำดักแด้เป็นตัวแทนของระยะต่าง ๆ เนื่องจากเป็นระยะที่อยู่ในเมล็ดถั่วเขียว นำไปให้คลื่นความถี่วิทยุ 27.12 MHz ใน การทดลองที่ 3 ที่พลังงาน 640 วัตต์ ที่ระยะเวลาต่าง ๆ กัน พบว่า เมื่อให้คลื่นความถี่วิทยุ 27.12 MHz ที่ระดับพลังงาน 640 วัตต์ เป็นระยะเวลา 120, 140, 160, 180, 200 และ 220 วินาที อุณหภูมิเฉลี่ยภายในตัวอย่างทดลองมีค่าเพิ่มขึ้นตามระยะเวลาที่เพิ่มขึ้น โดยมีค่าอุณหภูมิเฉลี่ยเท่ากับ 49.3 ± 0.7 , 54.9 ± 0.6 , 60.1 ± 1.1 , 65.0 ± 0.6 , 69.4 ± 0.4 และ 74.5 ± 0.5 องศาเซลเซียส ตามลำดับ เปอร์เซ็นต์การตายของด้วงถั่วเขียวระยำดักแด้ มีความแตกต่างอย่างมีนัยสำคัญทางสถิติ ($P<0.05$) การให้คลื่นความถี่วิทยุที่ระดับพลังงาน 640 วัตต์ ที่ระยะเวลา 140, 160 และ 180 วินาที มีค่าเฉลี่ยเปอร์เซ็นต์การตายของดักแด้ด้วงถั่วเขียว คือ 64.96 ± 6.28 , 59.54 ± 2.77 และ 65.90 ± 4.15 ซึ่งไม่มีความแตกต่างกันทางสถิติ ($P>0.05$) แต่การให้คลื่นความถี่วิทยุ 27.12 MHz ที่ระดับพลังงาน เป็นระยะเวลา 220 วินาที อุณหภูมิสุดท้ายเฉลี่ยเท่ากับ 74.5 ± 0.5 องศาเซลเซียส ทำให้ด้วงถั่วเขียวระยำดักแด้ตาย 100 เปอร์เซ็นต์ (ตาราง 4.6) ซึ่งถือเป็นการตายของด้วงถั่วเขียวระยำดักแด้ที่สมบูรณ์

ตาราง 4.6 เปอร์เซ็นต์การตายเฉลี่ยของด้วงถั่วเขียวระยำดักแด้และอุณหภูมิ ที่ผ่านคลื่นความถี่วิทยุ 27.12 MHz ที่ระดับพลังงาน 640 วัตต์ ระยะเวลาต่าง ๆ

ระยะเวลา (วินาที)	อุณหภูมิสุดท้าย \pm SD (องศาเซลเซียส)	เปอร์เซ็นต์การตาย \pm SE ¹
120	49.3 ± 0.7	50.85 ± 3.65 d
140	54.9 ± 0.6	64.96 ± 6.28 bc
160	60.1 ± 1.1	59.54 ± 2.77 cd
180	65.0 ± 0.6	65.90 ± 4.15 bc
200	69.4 ± 0.4	75.31 ± 5.17 b
220	74.5 ± 0.5	100 a

¹ค่าเฉลี่ยในส่วนก็เดียวกันตามด้วยตัวอักษรที่เหมือนกัน ไม่มีความแตกต่างอย่างมีนัยสำคัญทางสถิติที่ระดับความเชื่อมั่น 95 เปอร์เซ็นต์ โดยวิธี Least Significant Difference (LSD=5.90)

ดังนั้นระเบิดกัดดีของด้วงถัวเจียที่ได้รับคลื่นความถี่วิทยุที่ 27.12 MHz ระดับพลังงาน 640 วัตต์เป็นเวลา 220 วินาที อุณหภูมิสุดท้ายเฉลี่ยเท่ากับ 74.5 ± 0.5 องศาเซลเซียสมีอัตราการตายไม่แตกต่างจากระยะไข่และหนอน (ตาราง 4.4) กุญแจ (2552) ศึกษาคลื่นความถี่วิทยุ 27.12 MHz ที่อุณหภูมิ 55, 60, 65 และ 70 องศาเซลเซียส โดยทุกอุณหภูมิใช้เวลา 90, 120, 150 และ 180 วินาที พนว่า ตั้งแต่ที่อุณหภูมิ 60 องศาเซลเซียสขึ้นไปทำให้มอดหัวป้อมตายไม่แตกต่างกันทางสถิติ ($P>0.05$) ซึ่งสอดคล้องกับ Janhang *et al.* (2005) ที่ใช้คลื่นความถี่วิทยุ 27.12 MHz ในข้าวขาวคอกมะติ 105 ที่ความชื้น 10.4 เปอร์เซ็นต์ อุณหภูมิ 70, 75, 80 และ 85 องศาเซลเซียส ระยะเวลา 180 วินาที พนว่า มอดหัวป้อมตาย 100 เปอร์เซ็นต์ในทุกกรรมวิธี นอกจากนี้ พัทยา และสุชาดา (2549) พนว่าเมื่อให้มอดหัวป้อมเข้าทำลายข้าวเปลือกในอัตรา 125 ตัวต่อ 1 กิโลกรัมแล้ว นำมาผ่านคลื่นความถี่วิทยุ 27.12 MHz ที่อุณหภูมิ 70, 75, 80 และ 85 องศาเซลเซียส ระยะเวลา 180 วินาที มอดหัวป้อมตาย 100 เปอร์เซ็นต์ เช่นกัน

เมื่อเปรียบเทียบความร้อนแบบโดยอิเลคทริกโดยใช้คลื่นความถี่วิทยุกับความร้อนจากไอน้ำร้อน Menon and Subramanyam (2000) ศึกษาการใช้ไอน้ำร้อนชนิด steam heat กำจัดแมลงในอาคารและเครื่องมือผลิตแป้ง ที่ระดับอุณหภูมิ 48 องศาเซลเซียส และจับเวลาเมื่ออุณหภูมิถึงระดับที่ต้องการเป็นเวลา 36 ชั่วโมง สามารถทำให้มอดแป้งระเหตุเต็มวัยตายได้อย่างสมบูรณ์ แต่ระเบิดกัดดี มีการตายเพียง 50 เปอร์เซ็นต์ ผลสอดคล้องกับ Mahroof *et al.* (2003a) พนว่าดักแด้ของมอดแป้งที่อาศัยอยู่ในโรงงานผลิตอาหารสัตว์ และแป้งสาลีมีทนทานต่อความร้อนจากไอน้ำร้อนที่อุณหภูมิต่ำกว่า 50 องศาเซลเซียสเป็นเวลา 24-36 ชั่วโมง ในระหว่างกระบวนการผลิตอาหารมากที่สุด ซึ่งการเพิ่มขึ้นของอุณหภูมนี้เป็นการเพิ่มที่ละน้อย และบางพื้นที่มีการกระจายความร้อนอย่างไม่สม่ำเสมอ จึงมีอุณหภูมิไม่ถึง 50 องศาเซลเซียส ทำให้มอดแป้งสามารถปรับตัวโดยการสังเคราะห์โปรตีนชนิด heat shock proteins เพิ่มขึ้นเมื่อยู่ในสภาพแวดล้อมที่ไม่เหมาะสมต่อการดำรงชีวิต การสังเคราะห์ heat shock proteins ที่มากขึ้นนี้ เพื่อป้องกันการเกิดความเสียหายของเซลล์ภายในร่างกาย (Neven, 2000) ทำให้มอดแป้งสามารถอยู่รอดได้ แต่ในสภาพห้องปฏิบัติการพนว่า หนอนวัยอ่อนของมอดแป้งมีทนทานต่อความร้อนมากที่สุด โดยเฉพาะที่อุณหภูมิ 50-60 องศาเซลเซียส เมื่อเปรียบเทียบกับมอดแป้งระยะไข่ หนอนวัยแก่ ดักแด้ และตัวเต็มวัย Mahroof *et al.* (2003b) สำหรับการให้ความร้อนโดยคลื่นความถี่วิทยุ อัตราความเร็วในการให้ความร้อนของคลื่นความถี่วิทยุนั้นเร็วกว่าการใช้ไอน้ำร้อนของ Mahroof *et al.* (2003a, b) โดยที่การใช้คลื่นความถี่วิทยุมีอัตราความเร็วในการให้ความร้อน 3 องศาเซลเซียสต่อนาที จึงทำให้การใช้คลื่นความถี่วิทยุในการกำจัดมอดแป้งใช้ระยะเวลาที่สั้นกว่า (กรรภิการ, 2552) ซึ่งคลื่นความถี่วิทยุทำให้เกิดความสั่นสะเทือนของไม้เลกุลในตัวตั้งถ้วนจึงเกิดเป็นพลังงานความร้อนขึ้นกระจาย

ตัวไปยังส่วนอื่น ๆ โดยกระบวนการนำความร้อน และสามารถเกิดขึ้นอย่างต่อเนื่อง ในการทดลองใช้คลื่นความถี่วิทยุ 27.12 MHz ที่อุณหภูมิ 50 องศาเซลเซียส เป็นเวลา 3 นาที มีอัตราเร็วในการให้ความร้อนโดยเฉลี่ย 11.4 องศาเซลเซียสต่อนาที ซึ่งเป็นอัตราที่มากกว่าการทดลองของ Johnson *et al.* (2004) และมากกว่าการทดลองของกุญชรา (2552) ผ่านคลื่นความถี่วิทยุ 27.12 MHz ที่อุณหภูมิ 50 องศาเซลเซียส เป็นระยะเวลา 180 วินาที มีอัตราเร็วในการให้ความร้อน 12.5 องศาเซลเซียสต่อนาที ซึ่งมีการกระจายความร้อนได้มากกว่า อีกทั้งขนาด รูปร่าง และคุณสมบัติของผลิตผลที่นำมาทดลองแตกต่างกัน ซึ่งมีผลต่อการกระจายของความร้อน นอกจากนี้แมลงที่ใช้ทดลองในแต่ละพื้นที่ ซึ่งได้แก่ เขตร้อนและเขตอบอุ่น มีคุณลักษณะทางชีวภาพ หรือกายภาพที่แตกต่างกันทำให้มีความทนทานต่อความร้อนต่างกัน

4. การวิเคราะห์คุณภาพถั่วเขียว

จากการนำถั่วเขียว มาผ่านคลื่นความถี่วิทยุที่พลังงาน 640 วัตต์ ระยะเวลา 220 วินาที อุณหภูมิสุดท้ายเฉลี่ยเท่ากับ 74.5 ± 0.5 องศาเซลเซียส ซึ่งเป็นระยะเวลาที่สามารถกำจัดถั่วเขียวได้สมบูรณ์ที่สุด นำมาตรวจสอบคุณภาพถั่วเขียวที่เปลี่ยนแปลงโดยเปรียบเทียบกับคุณภาพของถั่วเขียวที่ไม่ได้ผ่านคลื่นความถี่วิทยุ (ชุดควบคุม)

4.1 การวิเคราะห์คุณภาพทางกายภาพ

4.1.1 ความชื้น (moisture content)

จากการตรวจสอบความชื้นของเมล็ดถั่วเขียว โดยวิธีอบลมร้อน (hot-air oven method) หลังจากให้คลื่นความถี่วิทยุที่พลังงาน 640 วัตต์ ระยะเวลา 220 วินาที อุณหภูมิสุดท้ายเฉลี่ยเท่ากับ 74.5 ± 0.5 องศาเซลเซียส จากความชื้นเมล็ดเริ่มต้น 11.0 เปอร์เซ็นต์ ลดลงเป็น 10.6 เปอร์เซ็นต์ อย่างมีนัยสำคัญทางสถิติ ($P<0.05$) (ตาราง 4.7) กระบวนการใช้คลื่นความถี่วิทยุสามารถลดความชื้นเมล็ดพันธุ์ลงได้อย่างรวดเร็ว ที่อุณหภูมิ 70, 75 และ 80 องศาเซลเซียส เป็นระยะเวลา 1, 3 และ 5 นาที พบว่าเปอร์เซ็นต์ความชื้นเมล็ดพันธุ์ข้าวขาวลดลง 105 ลดลงตามระดับอุณหภูมิและระยะเวลาที่เพิ่มขึ้นอย่างมีนัยสำคัญ ($P<0.05$) ความชื้นเมล็ดพันธุ์ลดลง 2.4 เปอร์เซ็นต์ จากความชื้นเริ่มต้น 13.03 เปอร์เซ็นต์ ที่อุณหภูมิ 80 องศาเซลเซียส เป็นระยะเวลา 5 นาที (พัทญา, 2550) ในเมล็ดพันธุ์ข้าวบาร์เลย์ที่ให้ความร้อนด้วยคลื่น RF ที่อุณหภูมิ 60, 65, 70 และ 75 องศาเซลเซียส เป็นระยะเวลา 0, 1 และ 3 นาที พบว่า ความชื้นเมล็ดพันธุ์เริ่มต้น 14.3 เปอร์เซ็นต์ ปริมาณความชื้นเมล็ดพันธุ์ข้าวบาร์เลย์ลดลง เมื่อระยะเวลาและอุณหภูมิเพิ่มขึ้น แต่ปริมาณความชื้นเมล็ดลดลงน้อยกว่า 1 เปอร์เซ็นต์ (Akaranuchat *et al.*, 2007) สำหรับเมล็ด

ข้าวโพดที่ให้คลื่น RF ที่ระดับอุณหภูมิ 4 ระดับ คือ 50, 60, 70 และ 80 องศาเซลเซียส เป็นระยะเวลา 4, 5, 6, 7 และ 8 นาที แก่เมล็ดพันธุ์ข้าวโพด ที่มีความชื้นเมล็ดเริ่มต้น 12.5 เปอร์เซ็นต์ (w.b.) พบว่า ความชื้นในเมล็ดมีแนวโน้มลดลงตามระดับของอุณหภูมิที่เพิ่มขึ้น และระยะเวลาที่เพิ่มขึ้น (กรกิตติ์, 2552) สอดคล้องกับการให้คลื่นความถี่วิทยุแก่เมล็ดพันธุ์งาที่อุณหภูมิ 80 องศาเซลเซียส เป็นระยะเวลา 180 วินาที สามารถลดความชื้นเมล็ดพันธุ์งาลงได้ถึง 2 เปอร์เซ็นต์ ที่ความชื้นเริ่มต้นเมล็ดพันธุ์ 10 เปอร์เซ็นต์ ในขณะที่ความชื้นเริ่มต้น 5 เปอร์เซ็นต์ สามารถลดความชื้นเมล็ดพันธุ์ลงได้ 0.8 เปอร์เซ็นต์ (ปรัชญา, 2548) เนื่องจากภายในเมล็ดจะประกอบไปด้วยโมเลกุลของน้ำซึ่งอยู่ในรูป physically bound water คือ น้ำที่ขับกับ grain substrate อย่างหลวມ ๆ ด้วยแรงระหว่างโมเลกุล (molecular attraction) น้ำในสถานะนี้จะเหยียกได้ง่าย เมื่อให้คลื่น RF แก่เมล็ด ซึ่งเป็นไปตามหลักการให้ความร้อนด้วยพลังงานจากคลื่นแม่เหล็กไฟฟ้าที่กล่าวไว้ว่า การดูดซับพลังงานจากคลื่นแม่เหล็กไฟฟ้ามีความสัมพันธ์กับค่าคงที่ไดอิเลคทริก (ϵ') ของวัตถุที่ได้รับคลื่นแม่เหล็กไฟฟ้า ค่านี้แสดงถึงความสามารถของสารประกอบในวัตถุที่สามารถกักเก็บพลังงานไฟฟ้าไว้ได้มีน้ำสารประกอบนั้นไปไว้ในสถานไฟฟ้ากระแสสลับ แฟกเตอร์การสูญเสีย (ϵ'') เป็นค่าพลังงานที่สูญเสียไปเพื่อเปลี่ยนเป็นพลังงานความร้อนในวัตถุ หากค่านี้สูงแสดงว่าเกิดความร้อนได้สูง (Hastea *et al.*, 1988) เมล็ดพันธุ์ที่ความชื้นสูงเมื่อให้ RF แก่เมล็ด เมล็ดจะดูดซับพลังงานคลื่นแม่เหล็กไฟฟ้าแล้วเปลี่ยนเป็นพลังงานความร้อนได้ดีกว่าเมล็ดที่มีความชื้นเมล็ดพันธุ์ต่ำ สอดคล้องกับ Jiao *et al.* (2011) ศึกษาดัดค่าที่ไดอิเลคทริกและแฟกเตอร์การสูญเสียไดอิเลคทริกของถั่ว black-eyed (*Vigna unguiculata*) และถั่วเขียว (*Vigna radiata*) ที่ความชื้นในเมล็ด 8.8, 12.7, 16.8, 20.9 เปอร์เซ็นต์ และ 10.2, 14.4, 18.2, 22.3 เปอร์เซ็นต์ ตามลำดับ พบว่า ค่าที่ไดอิเลคทริกและแฟกเตอร์การสูญเสียไดอิเลคทริกของถั่วทั้งสองชนิดเพิ่มขึ้นตามความชื้นที่สูงขึ้น แสดงว่าเมล็ดที่ความชื้นสูงสามารถดูดซับพลังงานคลื่นแม่เหล็กไฟฟ้าเปลี่ยนเป็นพลังงานความร้อนได้เร็วกว่าที่ความชื้นในเมล็ดที่ต่ำ ผลของการตอบสนองร่วมดังกล่าว ทำให้อุณหภูมิกายในเมล็ดสูงขึ้น แรงดันภายในของเมล็ดอันเนื่องมาจากการดูดซับพลังงานจะเพิ่มขึ้นตามความชื้นที่สูงขึ้น แต่เมล็ดที่ความชื้นสูงกว่าภายนอกเมล็ดที่มีอุณหภูมิต่ำกว่า จะทำให้น้ำในเมล็ดเคลื่อนที่ กล้ายเป็นความดันที่สูงกว่าภายนอกเมล็ดที่มีอุณหภูมิต่ำกว่า จะทำให้น้ำในเมล็ดเคลื่อนที่ ออกจากภายนอกเมล็ดเพื่อรักษาสมดุลของความดันนี้ ทำให้ความชื้นในเมล็ดลดลง ยิ่งอุณหภูมิสูงมากขึ้นการเคลื่อนที่ของน้ำจากในเมล็ดออกสู่ภายนอกก็จะเป็นไปได้มากเท่านั้น (Cwiklinski and Höersten, 1999) ในกระบวนการลดความชื้นเมล็ดพันธุ์โดยใช้คลื่นแม่เหล็กไฟฟ้า คลื่น RF และในโคลเวฟ ระดับพลังงานที่เกิดจากการให้คลื่นแม่เหล็กไฟฟ้าแก่เมล็ดพันธุ์จะมีความสัมพันธ์กับปริมาณความชื้นในเมล็ด โดยที่ระดับความชื้นในเมล็ดที่สูงส่งผลให้เมล็ดมีการดูดซับพลังงานและมีประสิทธิภาพในการถ่ายเทและนำพาความร้อนในเมล็ดเกิดได้สูง (Christoph *et al.*, 2000)

สอดคล้องกับ Shivhare *et al.* (1992) รายงานว่า การลดความชื้นเมล็ดพันธุ์ข้าวโพดมีความสัมพันธ์ กับค่าการดูดซับพลังงานของเมล็ด ระยะเวลาที่ให้ความร้อนแก่เมล็ด ซึ่งมีความสัมพันธ์อย่างมาก ต่อระดับอุณหภูมิที่เพิ่มขึ้นของเมล็ดและอัตราการลดความชื้นที่เกิดขึ้น Jolicoeur *et al.* (1982) พบว่า ความชื้นในเมล็ดพันธุ์จะมีความสัมพันธ์อย่างมากต่อระดับอุณหภูมิสุดท้ายของเมล็ดภายหลัง จากที่ได้รับคลื่นไมโครเวฟ โดยพบว่าในเมล็ดถั่วเหลืองที่มีความชื้นเริ่มต้นต่ำจะมีการดูดซับ พลังงานจากคลื่นไมโครเวฟน้อยกว่าเมล็ดที่มีความชื้นเริ่มต้นสูง

ตาราง 4.7 ผลการวิเคราะห์ความชื้น ค่าสี L* a* b* และค่าความแข็งของเมล็ดถั่วเขียวที่ผ่าน คลื่นความถี่วิทยุ ที่ระดับพลังงาน 640 วัตต์ ระยะเวลา 220 วินาที

กรรมวิธี	ความชื้น	ความแข็ง	L*	a*	b*
	(%)	(N)			
ชุดควบคุม	11.0a	536.11a	37.16a	-1.22a	22.70a
RF 220 s	10.6b	527.55b	36.11b	-1.10b	24.46b

ค่าเฉลี่ยในส่วนที่เดียวกันตามด้วยตัวอักษรที่เหมือนกัน ไม่มีความแตกต่างอย่างมีนัยทางสถิติที่ ระดับความเชื่อมั่น 95 เปอร์เซ็นต์ โดยวิธี t-test

4.1.2 ความแข็งของเมล็ด

จากการตรวจสอบความแข็งของเมล็ดด้วยเครื่องวัดเนื้อสัมผัสอาหาร (Texture analyzer; TA-Xtplus) หัวกดแบบ Cylinder aluminium 40 mm. หลังจากให้คลื่นความถี่วิทยุที่พลังงาน 640 วัตต์ ระยะเวลา 220 วินาที อุณหภูมิสุดท้ายเฉลี่ยเท่ากับ 74.5 ± 0.5 องศาเซลเซียส จากความแข็ง ของเมล็ด 536.11 N ลดลงเป็น 527.55 N อย่างมีนัยสำคัญทางสถิติ ($P<0.05$) (ตาราง 4.7) ความแข็งในที่นี้เป็นสมบัติทางกลของวัสดุเป็นสมบัติที่บ่งบอกความแข็งแรงหรือความทนทานของวัสดุ วัสดุนั้นจะแข็งแรงหรือทนทานมากน้อยเพียงใดเราสามารถให้แรงกระทำในลักษณะต่าง ๆ ต่อวัสดุ นั้น เช่น แรงดึง แรงฉีก หรือแรงกระแทก แล้วประเมินผลการตอบสนองของวัสดุต่อแรงที่ได้รับ หากวัสดุที่มีความแข็งแรงน้อยมากแตกหักเสียหายหรือเปลี่ยนแปลงรูปร่างได้เมื่อใช้แรงกระทำเพียงเล็กน้อย ในทางกลับกันหากวัสดุที่แข็งแรงมากกว่ามักแตกหักเสียหรือเปลี่ยนแปลงรูปร่างได้ยาก (ปิยะรรภ, 2548)

4.1.3 ค่าสี L* a* b*

จากการนำถั่วเขียวมาผ่านคลื่นความถี่วิทยุที่พลังงาน 640 วัตต์ ระยะเวลา 220 วินาที จะทำให้ค่า a* (a-value) ในที่นี่แสดงค่าสีเขียว และค่า b* (b-value) ในที่นี่แสดงค่าสีเหลืองเพิ่มขึ้น จากชุดควบคุมที่ไม่ผ่านคลื่นความถี่วิทยุมีความแตกต่างอย่างมีนัยสำคัญทางสถิติ ($P < 0.05$) ส่วนค่าความสว่าง L* (L-value) มีค่าลดลงจากชุดควบคุมอย่างมีนัยสำคัญ ($P < 0.05$) ดังแสดงในตาราง 4.7 เม็ดถั่วเขียวที่ผ่านคลื่นความถี่วิทยุทำให้สีของเม็ดถั่วเขียวมีลักษณะเป็นสีเขียวลดลงและสีเหลืองเพิ่มขึ้นเพียงเล็กน้อย เนื่องจากการถ่ายด้วยกล้องโรฟิลล์ระหว่างการให้ความร้อน กล้องโรฟิลล์ซึ่งเป็นสารสีเขียว มีโมเลกุลขนาดใหญ่ประกอบด้วยวงแหวน pyrrole 4 วงซึ่ด้วยมีเทนคาร์บอน ตรงกลางเป็นอะตอนแมกนีเซียมซึ่งจับกันในโครงสร้างด้วยพันธะโควาเดนต์ 4 พันธะและมีหมู่ไฟฟลอกในโมเลกุลซึ่งใช้ตัวเร่งกวัตตุไวต่อแสงให้กับโครงสร้างส่วนไฮโครโรฟิล กของเยื่อมาเลตามาในครอโรพลาสติกมีสมบัติไม่ละลายน้ำ กล้องโรฟิลล์จัดเป็น conjugated protein เมื่อถูกความร้อนจะเปลี่ยนสภาพไป โดยที่เซลล์เนื้อเยื่อของพืชถูกทำลายบางส่วน มีผลให้การแพร่ผ่านเยื่อบุรอบ ๆ chloroplast เกิดมากขึ้น และกรดในพืชถูกปล่อยออกมาระบุกปริมาณมากัน กล้องโรฟิลล์สร้าง pheophytin เนื่องจากการแทนที่ของไฮโครโรนในตำแหน่งแมกนีเซียมเกิดเป็นรังควัตตุสีเหลือง

นอกจากนี้การใช้คลื่นความถี่วิทยุที่ระดับความถี่ 27.12 MHz ในข้าวขาวคอกมะลิ 105 โดยให้ความร้อนจากคลื่นความถี่วิทยุที่ 4 ระดับอุณหภูมิคือ 60, 70, 80 และ 90 องศาเซลเซียส เป็นระยะเวลา 5, 10 และ 15 นาที พบว่า การใช้อุณหภูมิที่สูงขึ้นทำให้ข้าวสารมีสีเหลืองเพิ่มขึ้นซึ่งเกิดจากปฏิกิริยา maillard reaction ซึ่งเป็นปฏิกิริยาที่สารเกิดสีน้ำตาลโดยไม่ใช้อ่อนไชม์เมื่อได้รับความร้อน โดยถ้าอุณหภูมิสูงขึ้น อัตราการเกิดสีน้ำตาลจะสูงขึ้น การให้คลื่นความถี่วิทยุเป็นระยะเวลา 15 นาที ในทุกระดับอุณหภูมิ ส่งผลทำให้ข้าวสารมีค่าความสว่าง (L*) เพิ่มขึ้นแต่ไม่มีผลต่อค่าสีเหลืองของข้าว ยกเว้นการใช้อุณหภูมิ 90 องศาเซลเซียส ทุกช่วงเวลา มีค่าสีเหลือง (b*) เพิ่มขึ้นอย่างมีนัยสำคัญทางสถิติ ($P < 0.05$) (พลากร, 2551) ซึ่งสอดคล้องกับรายงานของบุญมีและคณะ (2548) พบว่าการใช้ลมร้อนที่อุณหภูมิที่สูงขึ้นด้วยนิความขาวลดลง การใช้เครื่องลดความชื้นชนิดลมร้อนที่อุณหภูมิ 70 องศาเซลเซียส ที่มีดัชนีความขาว 46.13 น้อยกว่าการลดความชื้นด้วยลมร้อนที่อุณหภูมิ 40 องศาเซลเซียสทำให้ข้าวสารมีดัชนีความขาว 50.46 และที่ 50 องศาเซลเซียส ข้าวสารมีดัชนีความขาว 46.30

4.1.4 การวัดค่าความหนืดโดยใช้เครื่อง Rapid Visco Analyzer (RVA)

การเปลี่ยนแปลงความหนืดของน้ำแป้งคิบถั่วเขียว ที่ได้จากการวัดด้วยเครื่อง Rapid Visco Analyzer (RVA) จะแสดงค่าต่าง ๆ ได้แก่ ความหนืดสูงสุด (peak) ความหนืดสุดท้าย (final viscosity) ค่าความคงทนต่อการกวนของแป้งหรือความเหนี่ยว (breakdown) ความหนืดจาก การคืนตัว (setback) และค่าอุณหภูมิเริ่มต้นของความหนืด (pasting temperature) จากตาราง 4.8 ถั่วเขียวที่ไม่ผ่านคลื่นความถี่วิทยุ (ชุดควบคุม) พบว่า แป้งคิบถั่วเขียว (แป้งฟลาเวอร์) ค่าความหนืด สูงสุด ค่าความคงทนต่อการกวนของแป้ง ค่าความหนืดสุดท้าย ค่าการคืนตัวของแป้ง และค่า อุณหภูมิเริ่มต้นความหนืด มีค่าเท่ากับ 660.50 RVU, 107.33 RVU, 970.00 RVU, 309.50 RVU และ 73.34 องศาเซลเซียส ตามลำดับ และเมื่อผ่านคลื่นความถี่วิทยุที่ระดับพลังงาน 640 วัตต์ ระยะเวลา 220 วินาที ค่าความหนืดสูงสุด ค่าความคงทนต่อการกวนของแป้ง ค่าความหนืด สุดท้าย ค่าการคืนตัวของแป้ง และค่าอุณหภูมิเริ่มต้นความหนืด มีค่าเท่ากับ 759.67 RVU, 131.83 RVU, 1104.33 RVU, 344.67 RVU และ 75.83 องศาเซลเซียส ตามลำดับดังแสดงในตาราง 4.8 ค่า ความหนืดสูงสุด ค่าความหนืดสุดท้าย และค่าอุณหภูมิเริ่มต้นความหนืด ในชุดควบคุมและที่ผ่าน คลื่นความถี่วิทยุมีค่าไม่แตกต่างกันทางสถิติ ($P>0.05$) ค่าความคงทนต่อการกวนของแป้ง มีค่า แตกต่างอย่างมีนัยสำคัญทางสถิติ ($P<0.05$) ในชุดควบคุมและที่ผ่านคลื่นความถี่วิทยุ แสดงให้เห็นว่าเม็ดแป้งที่ผ่านคลื่นความถี่วิทยุมีความแข็งแรงมากกว่าเม็ดถั่วเขียวที่ไม่ผ่านคลื่นความถี่วิทยุ แป้งสามารถทนแรงต่าง ๆ อุณหภูมิในการทำให้เม็ดแป้งแตกได้ดีกว่า สำหรับแป้งสถาาร์ช Chung *et al.* (2000) พบว่าการเปลี่ยนแปลงความหนืดของสถาาร์ชถั่วเขียวด้วยเครื่อง Rapid Visco Analyzer (RVA) พบว่าอุณหภูมิที่ทำให้สถาาร์ชพองตัวเท่ากับ 71.9 องศาเซลเซียส ความ หนืดเมื่อสถาาร์ชพองตัวสูงสุดเท่า 249 RVU ความหนืดเมื่อสถาาร์ชเย็นตัวเท่ากับ 260 RVU

ตาราง 4.8 ผลการวิเคราะห์ค่า Rapid Visco Analyzis (RVA) ของเมล็ดถั่วเขียวที่ผ่านคลื่นความถี่วิทยุ ที่ระดับพลังงาน 640 วัตต์ ระยะเวลา 220 วินาที

กรรมวิธี	ค่าความหนืดสูงสุด (RVU)	ค่าความคงทนต่อ การกวนของแป้ง (RVU)	ค่าความหนืด สูดท้าย (RVU)	ค่าการคืนตัว ของแป้ง (RVU)	ค่าอุณหภูมิ เริ่มต้นความ หนืด (°C)
ชุดควบคุม	660.50ns	107.33a	970.00ns	309.50ns	73.34ns
RF 220 s	759.67	131.83b	1104.33	344.67	75.83

ค่าเฉลี่ยในส่วนกําเดียวกันตามด้วยตัวอักษรที่เหมือนกัน ไม่มีความแตกต่างอย่างมีนัยทางสถิติที่ระดับความเชื่อมั่น 95 เปอร์เซ็นต์ โดยวิธี t-test

4.1.5 คุณสมบัติโดยอิเล็กทริก

การวัดค่าการสะสะพลังงานไฟฟ้าในเมล็ดถั่วเขียว พบว่า ค่าคงที่ได้อิเล็กทริกและแฟ gek เทอร์การสูญเสีย ก่อนผ่านคลื่นความถี่วิทยุ (ชุดควบคุม) มีค่าเท่ากับ 2.117 ± 0.021 และ 2.074 ± 0.027 ตามลำดับ (ตาราง 4.9) หลังผ่านคลื่นความวิทยุที่ระดับพลังงาน 640 วัตต์ ระยะเวลา 220 วินาที มีค่าเท่ากับ 2.126 ± 0.009 และ 2.085 ± 0.023 เพิ่มขึ้นอย่างมีนัยสำคัญทางสถิติ ($P<0.05$) ลดลงกับงานวิจัยของ กาญจนะและนรินทร์ (2552) พบว่า ข้าวเปลือกเหนียวพันธุ์สันป่าตอง 1 ที่ผ่านการอบด้วยลมร้อนที่อุณหภูมิประมาณ 80 องศาเซลเซียส มีค่าคงที่ได้อิเล็กทริกของเมล็ด ข้าวเพิ่มขึ้นจากข้าวเมล็ดสด ซึ่งสัมพันธ์กับปริมาณสารโภไชเรตที่เพิ่มของเมล็ดข้าวความสัมพันธ์ ลักษณะดังกล่าวสอดคล้องกับที่พบในการทดสอบคุณสมบัติได้อิเล็กทริกในกลั่บพบว่า ค่าได้อิเล็กทริกเพิ่มขึ้นตามปริมาณสารโภไชเรตที่เพิ่มขึ้น (กาญจนะและนรินทร์, 2551) ผลของการ เพิ่มขึ้นของค่าคงตัวได้อิเล็กทริกตามปริมาณสารโภไชเรตซึ่งมีสูตรทั่วไปเป็น $(C_6H_{10}O_5)_n$ เมื่อ โครงสร้างดังกล่าวอยู่ในสถานะไฟฟ้าย้อมเกิดโพลาไรเซชันคล้ายกับที่เกิดในไมเกลกูลของน้ำและ วัสดุทั่ว ๆ ไปการเพิ่มขึ้นของปริมาณสารโภไชเรตซึ่งเป็นให้ค่าได้อิเล็กทริกของข้าวเพิ่มขึ้น (กาญจนะและนรินทร์, 2552) ดังนั้นการเพิ่มของค่าคงที่ได้อิเล็กทริกและค่าแฟ gek เทอร์การสูญเสียใน ถั่วเขียวหลังผ่านคลื่นความวิทยุที่ระดับพลังงาน 640 วัตต์ ระยะเวลา 220 วินาทีสัมพันธ์กับ ปริมาณสารโภไชเรตที่เพิ่มขึ้นในตาราง 4.9

ตาราง 4.9 ผลการวิเคราะห์ค่าคงที่ไอกอเลคทริก (E') และค่าแฟกเตอร์การสูญเสีย (E'') ของเมล็ดถั่วเขียวที่ผ่านคลื่นความถี่วิทยุ ที่ระดับพลังงาน 640 วัตต์ ระยะเวลา 220 วินาที

กรรมวิธี	ค่าคงที่ไอกอเลคทริก (E')	ค่าแฟกเตอร์การสูญเสีย (E'')
ชุดควบคุม	$2.117 \pm 0.021a$	$2.074 \pm 0.027a$
RF 220 s	$2.126 \pm 0.009b$	$2.085 \pm 0.023b$

ค่าเฉลี่ยในส่วนที่เดียวกันตามด้วยตัวอักษรที่เหมือนกัน ไม่มีความแตกต่างอย่างมีนัยทางสถิติที่ระดับความเชื่อมั่น 95 เปอร์เซ็นต์ โดยวิธี t-test

4.2 การวิเคราะห์คุณภาพทางเคมี

จากการตรวจสอบคุณภาพทางเคมีในเมล็ดถั่วเขียว พบว่า ปริมาณสาร์โบไไซเดรตก่อนผ่านคลื่นความถี่วิทยุ (ชุดควบคุม) มีค่าเท่ากับ 59.42 เปอร์เซ็นต์ หลังผ่านคลื่นความวิทยุที่ระดับพลังงาน 640 วัตต์ ระยะเวลา 220 วินาที มีค่าเพิ่มขึ้นเป็น 60.69 เปอร์เซ็นต์อย่างมีนัยสำคัญทางสถิติ ($P<0.05$) ปริมาณโปรตีน ไขมัน และเยื่อไข ก่อนผ่านคลื่นความถี่วิทยุ (ชุดควบคุม) มีค่าเท่ากับ 20.76, 0.82 และ 4.55 เปอร์เซ็นต์ ตามลำดับ หลังผ่านคลื่นความวิทยุที่ระดับพลังงาน 640 วัตต์ ระยะเวลา 220 วินาที มีค่าเท่ากับ 20.27, 0.57 และ 4.35 เปอร์เซ็นต์ลดลงอย่างมีนัยสำคัญทางสถิติ ($P<0.05$) ปริมาณเก้าและอะไนโอลส หลังผ่านคลื่นความถี่วิทยุ มีค่าเท่ากับ 3.48 และ 28.79 เปอร์เซ็นต์ตามลำดับ ไม่แตกต่างกันทางสถิติ ($P>0.05$) (ตาราง 4.10) จากชุดควบคุมที่ไม่ผ่านคลื่นความถี่วิทยุ

ตาราง 4.10 ผลการวิเคราะห์ส่วนประกอบทางเคมีของเมล็ดถั่วเขียวที่ผ่านคลื่นความถี่วิทยุ ที่ระดับพลังงาน 640 วัตต์ ระยะเวลา 220 วินาที

กรรมวิธี	สาร์โบไไซเดรต (%)	โปรตีน (%)	ไขมัน (%)	เยื่อไข (%)	เก้า (%)	อะไนโอลส (%)
ชุดควบคุม	59.42a	20.76a	0.82a	4.55a	3.38ns	28.85ns
RF 220 s	60.69b	20.27b	0.57b	4.35b	3.48	28.79

ค่าเฉลี่ยในส่วนที่เดียวกันตามด้วยตัวอักษรที่เหมือนกัน ไม่มีความแตกต่างอย่างมีนัยทางสถิติที่ระดับความเชื่อมั่น 95 เปอร์เซ็นต์ โดยวิธี t-test

ปริมาณการโบไชเดรตเพิ่มขึ้นหลังผ่านคลื่นความถี่วิทยุ 27.12 MHz ที่ระดับพลังงาน 640 วัตต์ ระยะเวลา 220 วินาที อุณหภูมิสุดท้ายเฉลี่ยเท่ากับ 74.5 ± 0.5 องศาเซลเซียส (ตาราง 4.10) แต่จากการศึกษาของ ปรัชญา (2548) ปริมาณการโบไชเดรตรวมในเมล็ดพันธุ์งาที่ความชื้นเริ่มต้น 5 และ 10 เปลอร์เซ็นต์ ที่ผ่านคลื่นความถี่วิทยุที่อุณหภูมิ 60, 70, 80, 85 และ 90 องศาเซลเซียส เป็นระยะเวลา 180 วินาที การเพิ่มขึ้นของอุณหภูมิที่ให้แก่เมล็ดพันธุ์งาไม่มีผลต่อการเปลี่ยนแปลงของปริมาณการโบไชเดรต แต่มีผลกระทบต่อคุณภาพเมล็ดพันธุ์ข้าวขาวคอกมะลิ 105 ที่ให้คลื่นความถี่วิทยุ 27.12 MHz ที่อุณหภูมิ 70, 75 และ 80 องศาเซลเซียส เป็นระยะเวลา 1, 3 และ 5 นาที พนว่า อุณหภูมิในการให้คลื่นความถี่วิทยุมีผลทำให้ปริมาณการโบไชเดรตรวมในเมล็ดพันธุ์ลดลงอย่างมีนัยสำคัญทางสถิติ ($P < 0.05$) ในขณะที่ระยะเวลาในการให้คลื่นความถี่วิทยุไม่มีผลต่อการเปลี่ยนแปลงปริมาณการโบไชเดรตรวมในเมล็ดพันธุ์ข้าว (พัทยา, 2550)

ปริมาณโพรตีนรวมในเมล็ดถั่วเขียวในการทดลองนี้ลดลงหลังผ่านคลื่นความถี่วิทยุ 27.12 MHz ที่ระดับพลังงาน 640 วัตต์ ระยะเวลา 220 วินาที อุณหภูมิสุดท้ายเฉลี่ยเท่ากับ 74.5 ± 0.5 องศาเซลเซียส (ตาราง 4.10) แตกต่างจากในเมล็ดพันธุ์ข้าวขาวคอกมะลิ 105 หลังการให้คลื่นความถี่วิทยุ 27.12 MHz ที่อุณหภูมิ 70, 75 และ 80 องศาเซลเซียส เป็นระยะเวลา 1, 3 และ 5 นาที พนว่า ระดับอุณหภูมิและระยะเวลาที่เพิ่มขึ้น ไม่มีผลต่อปริมาณโพรตีนรวมในเมล็ดพันธุ์ข้าวขาวคอกมะลิ 105 (พัทยา, 2550) ในเมล็ดพันธุ์ข้าวบาร์เลย์ที่ผ่านคลื่นความถี่วิทยุ 27.12 MHz ที่อุณหภูมิ 60, 65, 70 และ 75 องศาเซลเซียส เป็นเวลา 0, 1 และ 3 นาที พนว่า ปริมาณโพรตีนรวมในเมล็ดข้าวบาร์เลย์ก่อนผ่านคลื่นความถี่วิทยุมีเท่ากับ 10.7 เปลอร์เซ็นต์ ไม่มีความแตกต่างกันทางสถิติ ($P > 0.05$) ในเมล็ดข้าวบาร์เลย์ที่ผ่านคลื่นความถี่วิทยุในระยะเวลาและอุณหภูมิที่เพิ่มขึ้น ปริมาณโพรตีนรวมมีค่าอยู่ระหว่าง 10.4 - 10.7 เปลอร์เซ็นต์ (Akaranuchat *et al.*, 2007) สำหรับเมล็ดข้าวสารขาวคอกมะลิ 105 ที่ผ่านคลื่นความถี่วิทยุ 27.12 MHz ที่อุณหภูมิ 40, 45, 50, 55 และ 60 องศาเซลเซียส เป็นระยะเวลา 3 นาที พนว่า ข้าวสารที่ผ่านคลื่นความถี่วิทยุที่อุณหภูมิ 50, 55 และ 60 องศาเซลเซียส มีปริมาณโพรตีนเคลื่อนเท่ากับ 8.06 , 8.16 และ 7.77 เปลอร์เซ็นต์ตามลำดับ เพิ่มขึ้นอย่างมีนัยสำคัญทางสถิติ ($P < 0.05$) จากชุดควบคุมที่ไม่ผ่านคลื่นความถี่วิทยุปริมาณโพรตีนเฉลี่ยเท่ากับ 9.45 เปลอร์เซ็นต์ (ณคณิณ, 2551) นอกจากนี้ในเมล็ดพันธุ์งาที่ความชื้นเริ่มต้น 5 และ 10 เปลอร์เซ็นต์ ที่ผ่านคลื่นความถี่วิทยุที่ระดับอุณหภูมิ 60, 70, 80, 85 และ 90 องศาเซลเซียส เป็นระยะเวลา 180 วินาที พนว่าความชื้นเมล็ดพันธุ์งาเริ่มต้นและระดับอุณหภูมิที่ให้แก่เมล็ดพันธุ์งา ไม่มีผลต่อการเปลี่ยนแปลงปริมาณกรดอะมิโนรวมในเมล็ด (ปรัชญา, 2548)

ปริมาณอะไนโอลส์ในเมล็ดถั่วเขียวไม่เปลี่ยนแปลงเมื่อผ่านคลื่นความถี่วิทยุ 27.12 MHz ที่ระดับพลังงาน 640 วัตต์ ระยะเวลา 220 วินาที อุณหภูมิสุดท้ายเฉลี่ยเท่ากับ 74.5 ± 0.5 องศา

เชลเซียส (ตาราง 4.10) แต่ในข้าวสารขาวดอกมะลิ 105 ที่ผ่านคลื่นความถี่วิทยุตั้งแต่ 40-60 องศา เชลเซียส พบว่า เมื่อให้อุณหภูมิสูงขึ้นปริมาณอะไนโอลสเพิ่มมากขึ้นตามไปด้วย โดยที่ 60 องศา เชลเซียส ปริมาณอะไนโอลสมิค่าเท่ากับ 17.35 เปอร์เซ็นต์ (ณกณิณ, 2551) สอดคล้องกับงานวิจัยของ กฤษณा (2552) นำข้าวสารขาวดอกมะลิ 105 ไปผ่านคลื่นความถี่วิทยุที่ 27.17 MHz อุณหภูมิ 70 องศา เชลเซียสระยะเวลา 150 วินาที ซึ่งเป็นอุณหภูมิและระยะเวลาที่ทำให้มอดหัวป้อมตาย 100 เปอร์เซ็นต์ พบว่า มีปริมาณอะไนโอลส เพิ่มขึ้นเป็น 17.68 เปอร์เซ็นต์ จากปริมาณอะไนโอลส 14.10 เปอร์เซ็นต์ ก่อนนำໄไปผ่านคลื่นความถี่วิทยุ อย่างมีนัยสำคัญทางสถิติ ($P<0.05$)

สำหรับคุณภาพทางเคมี (proximate analysis) ในผลิตภัณฑ์อาหารเดี้ยงสัตว์ หลังการผ่านคลื่นความถี่วิทยุที่อุณหภูมิ 70 องศา เชลเซียส เป็นเวลา 1 นาที ซึ่งเป็นอุณหภูมิและระยะเวลาที่เหมาะสมในการกำจัดมดแมลง พบร่วมกับปริมาณโปรตีน ไขมัน เยื่อไข ถ้า และสารสกัดที่ปราศจากในโทรศัพท์ ก่อนผ่านคลื่นความถี่วิทยุมีค่า 21.20, 8.10, 2.80, 6.87 และ 50.16 เปอร์เซ็นต์ ตามลำดับ หลังจากผ่านคลื่นความถี่วิทยุมีค่า 22.30, 7.26, 2.78, 6.35 และ 51.24 เปอร์เซ็นต์ ตามลำดับ ไม่แตกต่างกันทางสถิติ ($P>0.05$) (กรรณิการ์, 2552) การใช้คลื่นความถี่วิทยุทำให้ความร้อนภายในตัวของแมลงเกิดขึ้นได้เร็วกว่าผลิตผลที่แมลงทำลาย จึงส่งผลให้แมลงตายโดยที่ไม่ทำให้ผลิตผลเสียรสดชาติ และคงลักษณะโครงสร้างทางอาหารได้ (Wang and Tang, 2001)